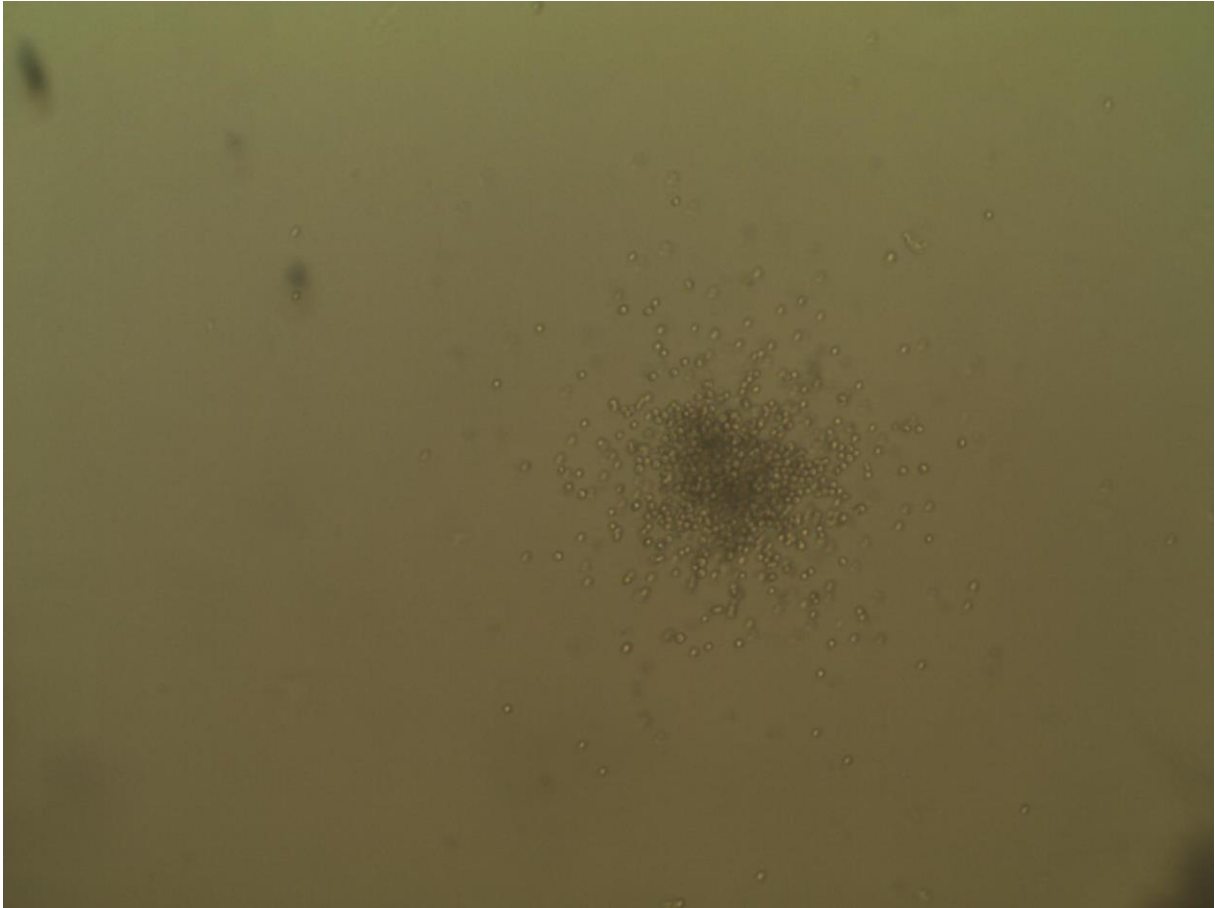


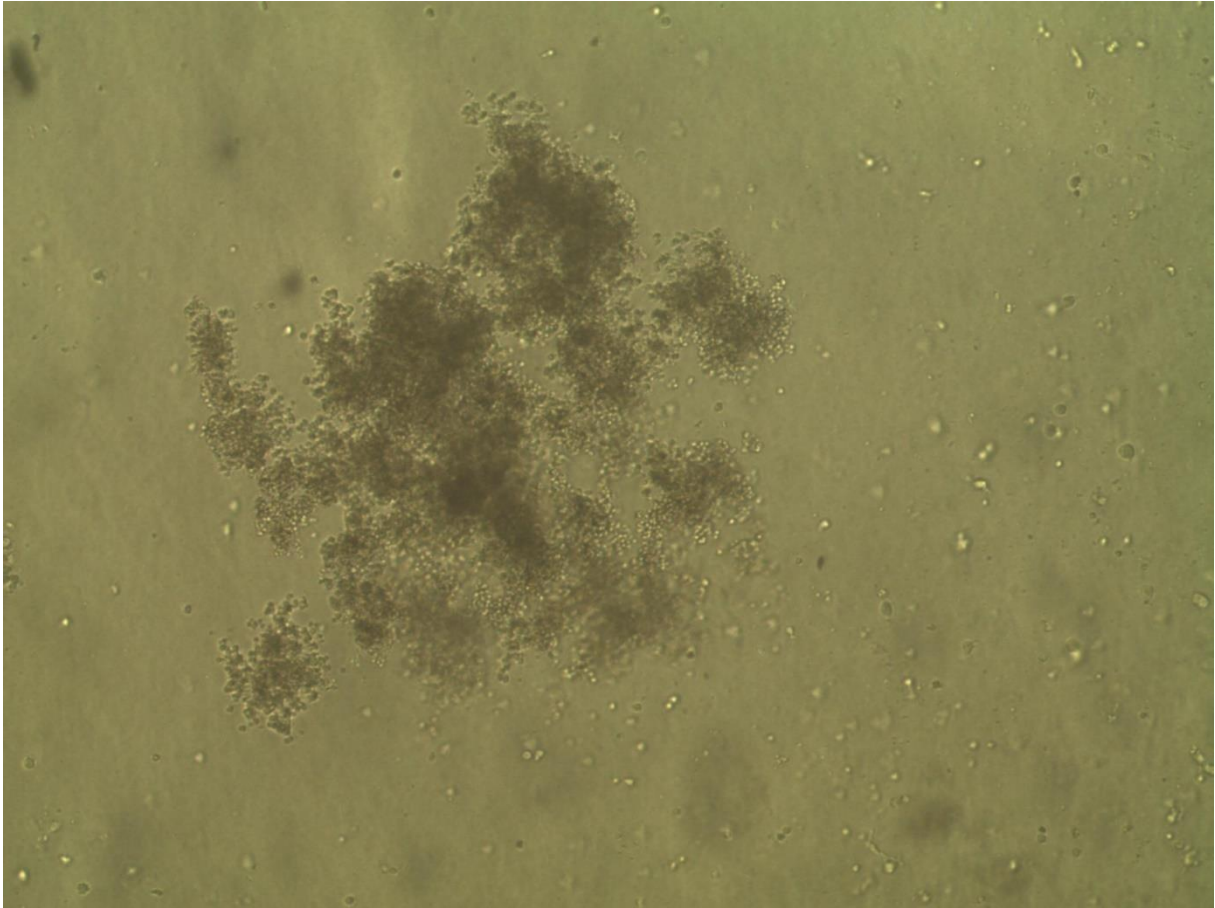
Supporting information Gholampour et al. 2021



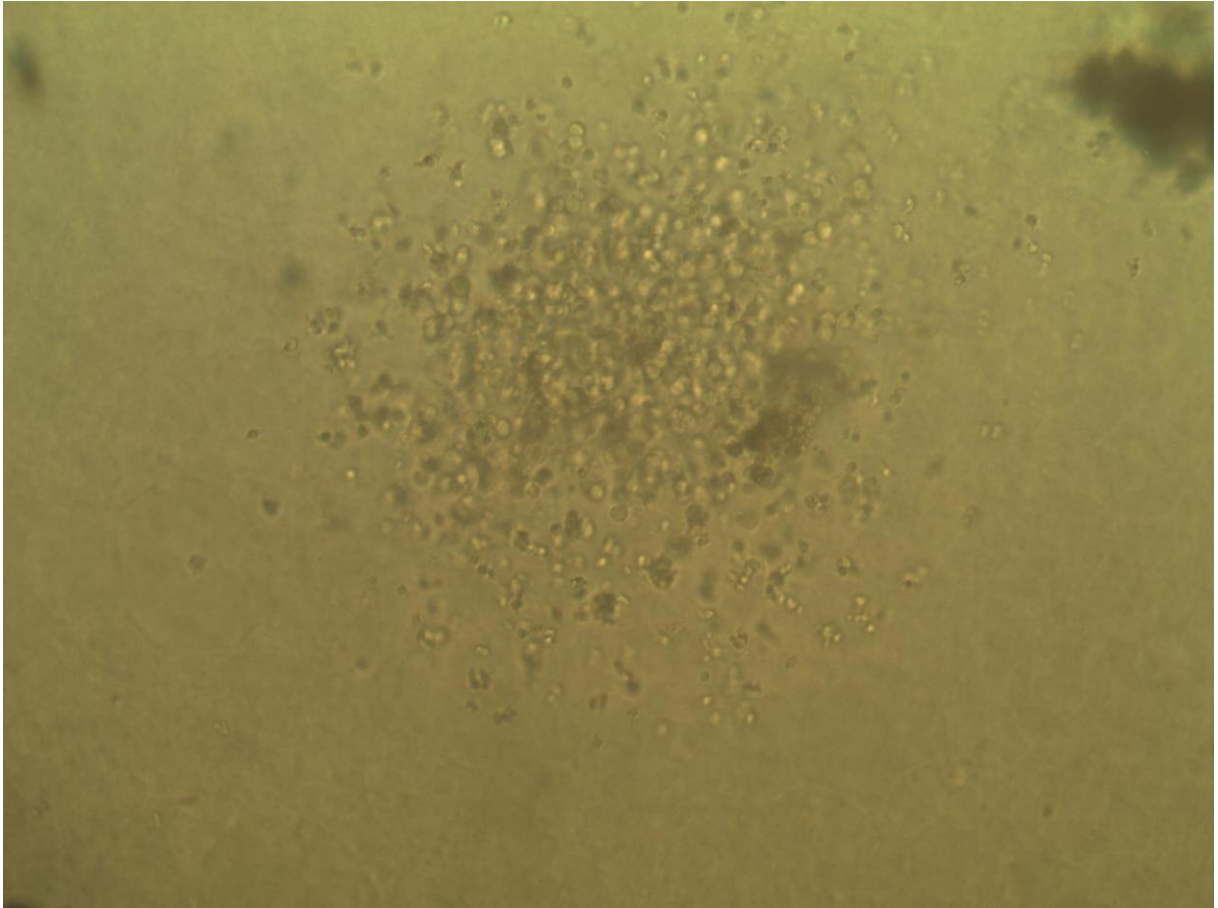
jcp30291-sup-0001-BFU_E.



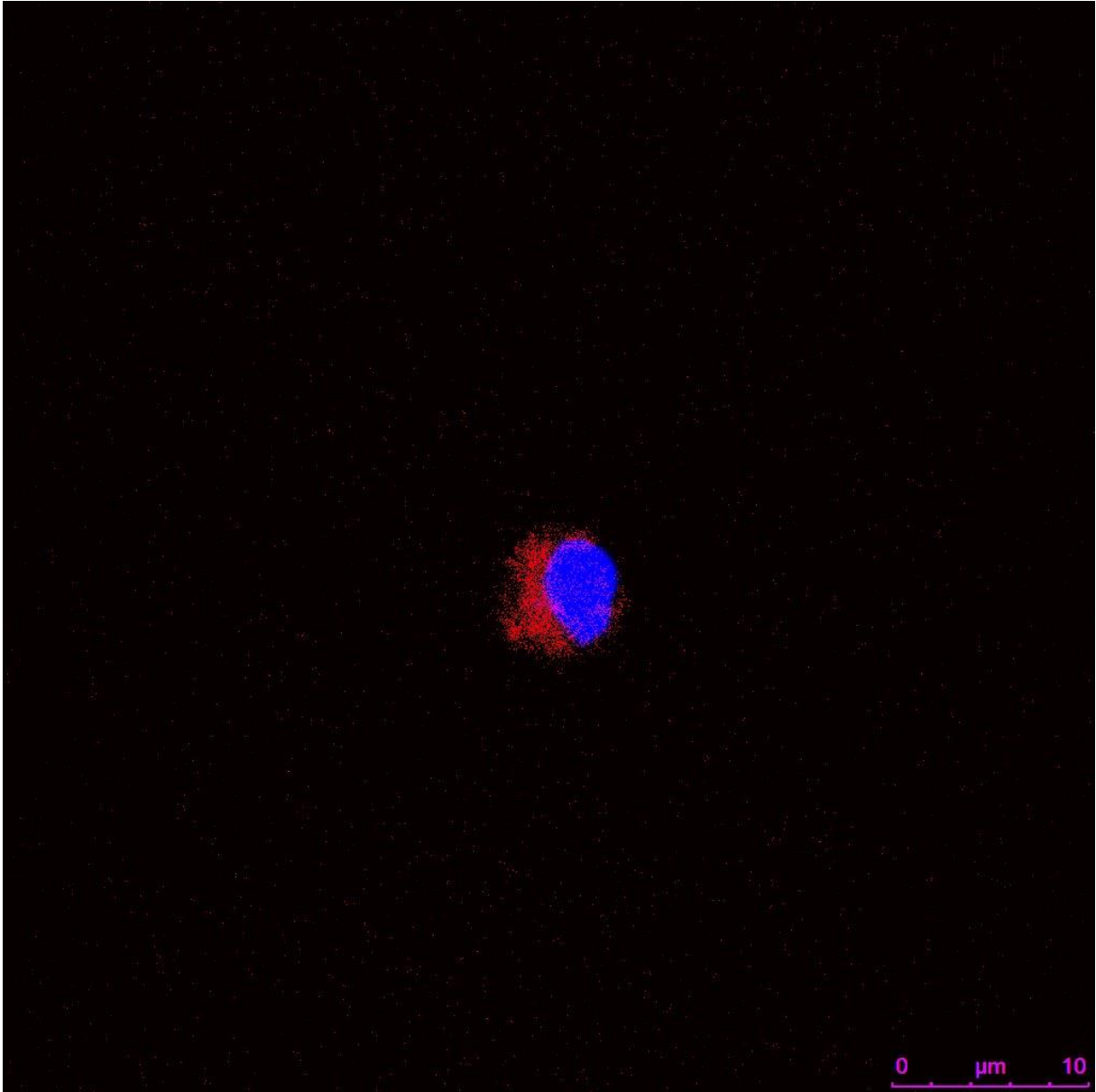
jcp30291-sup-0002-CFU_G



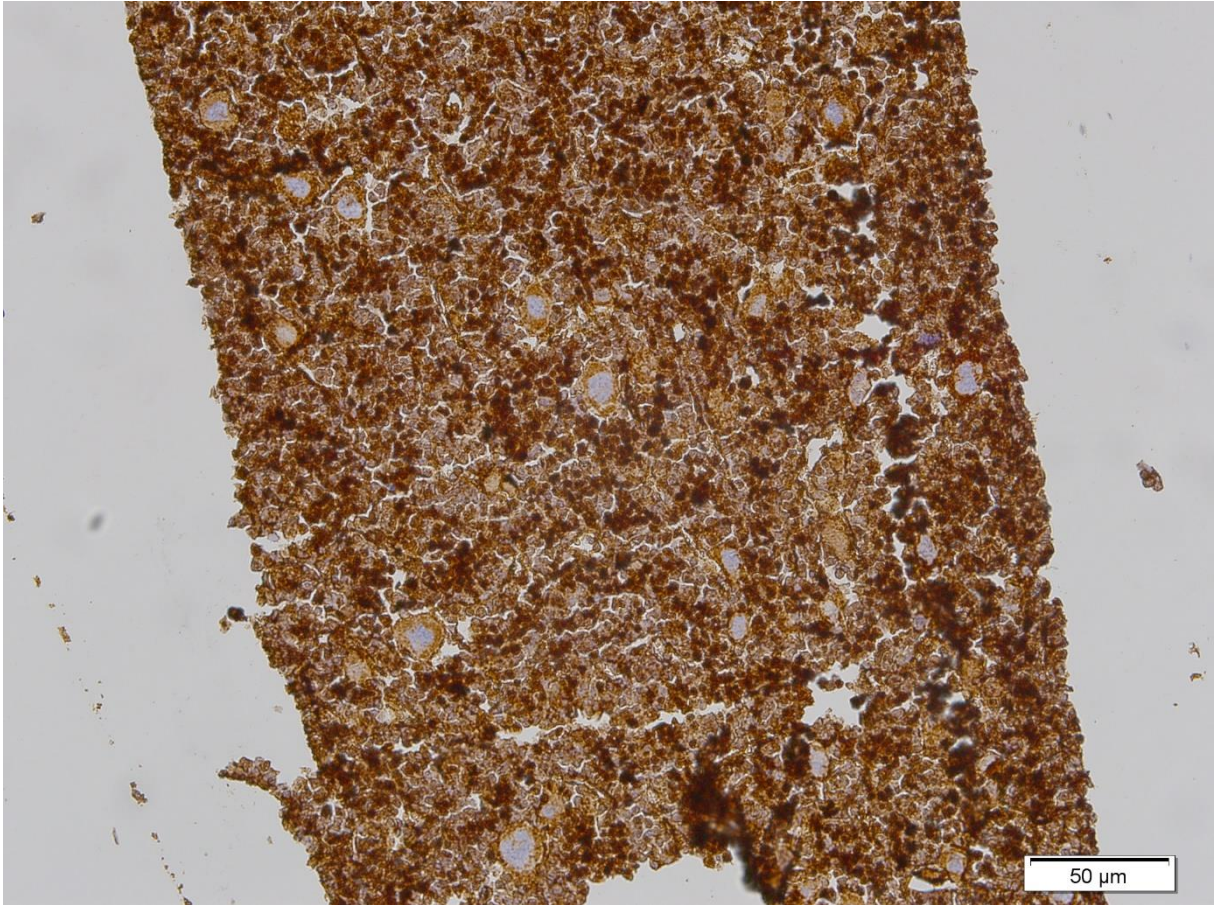
jcp30291-sup-0003-CFU_GEMM2



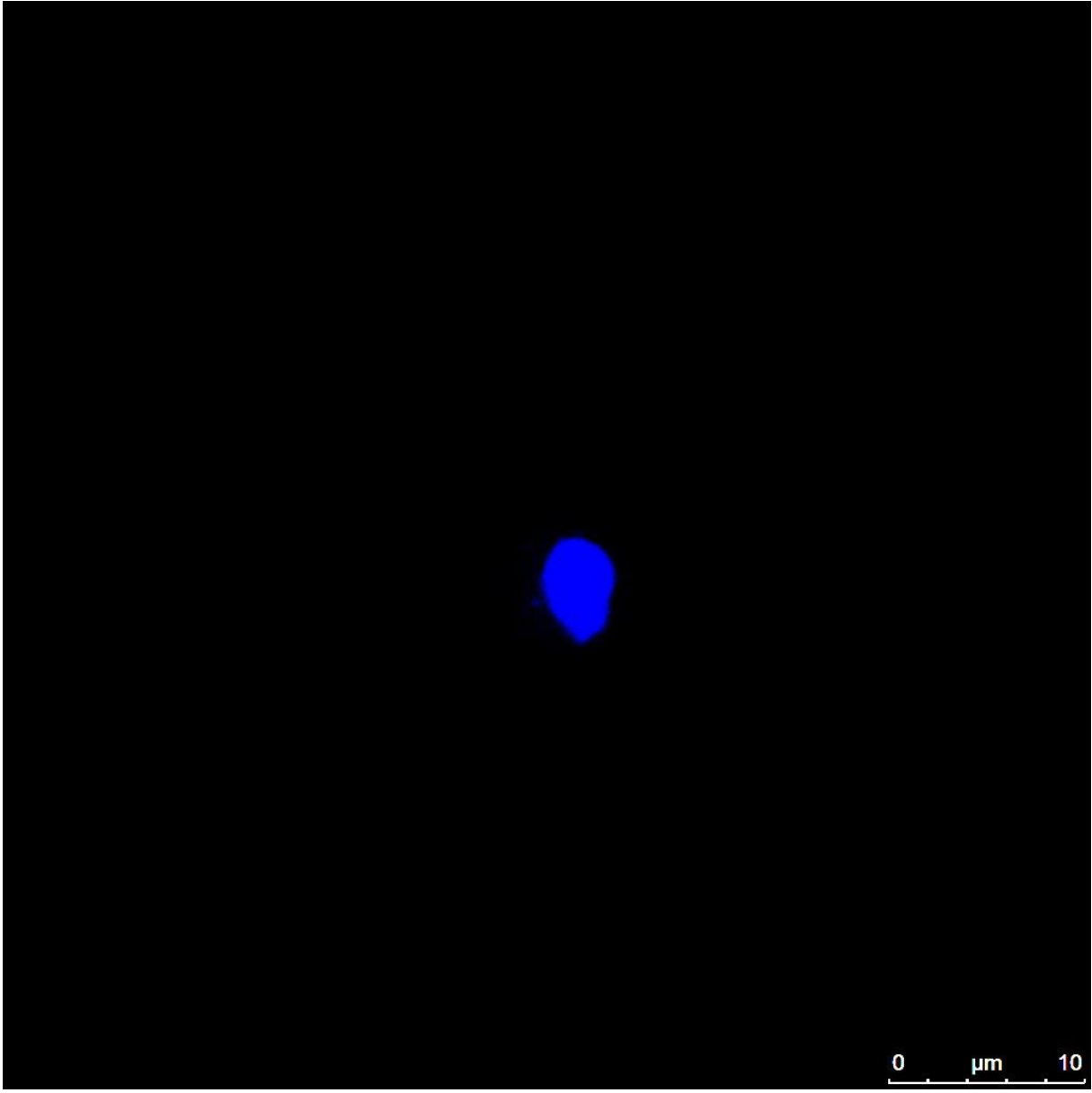
jcp30291-sup-0004-CFU_GM2



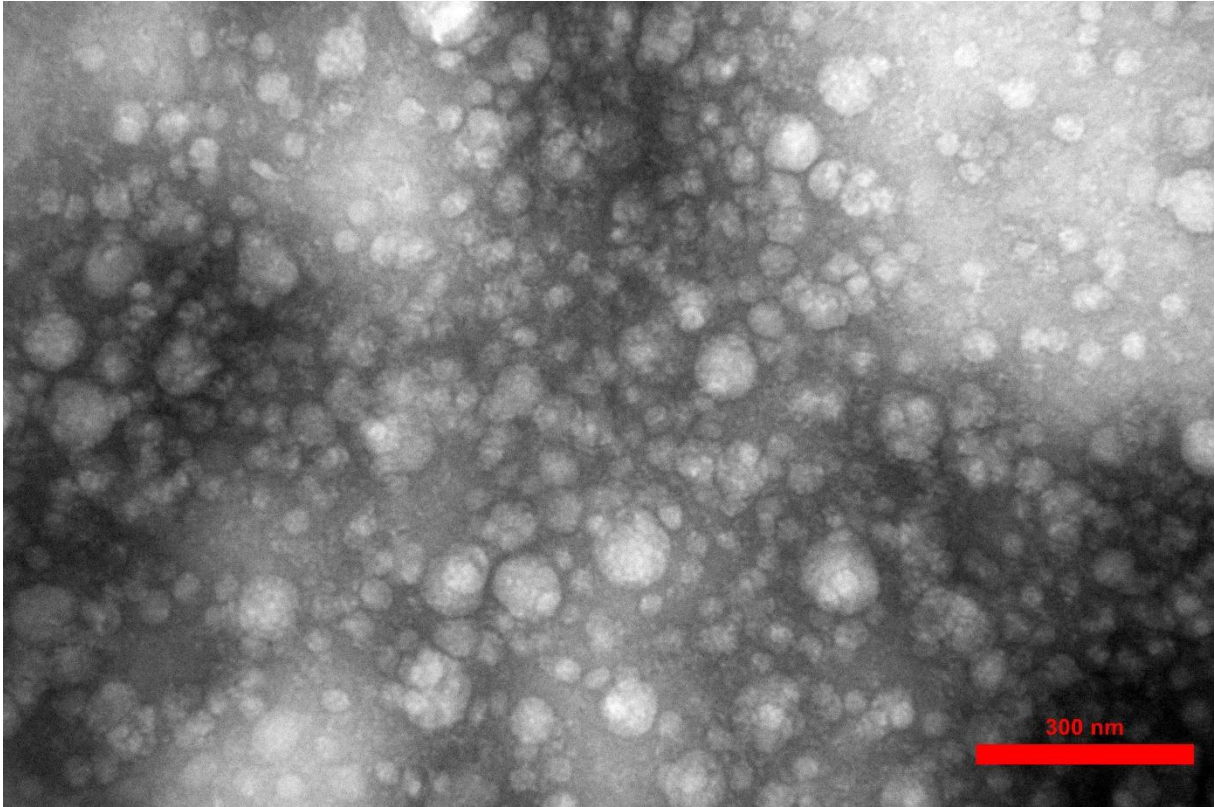
jcp30291-sup-0005-Composite



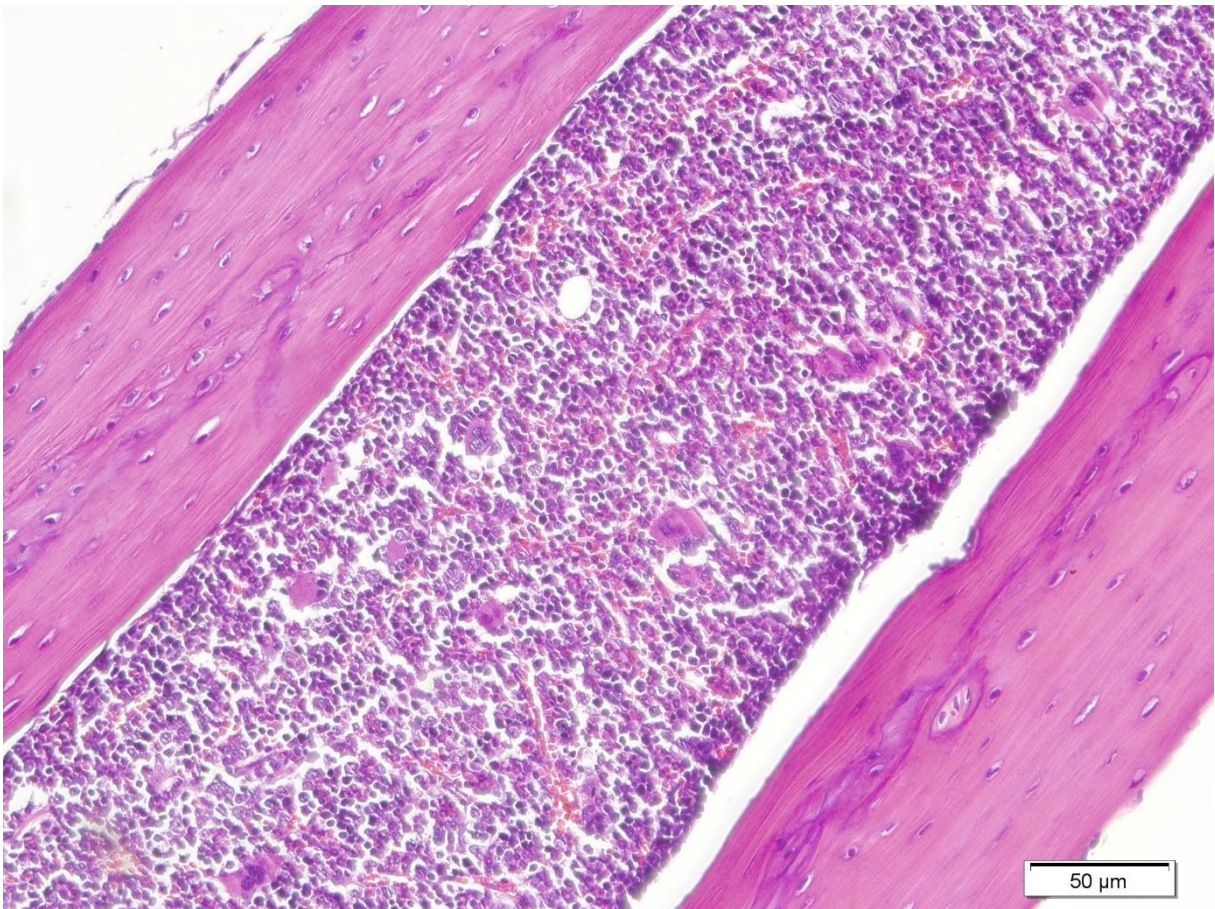
jcp30291-sup-0006-control



jcp30291-sup-0007-dapi_1



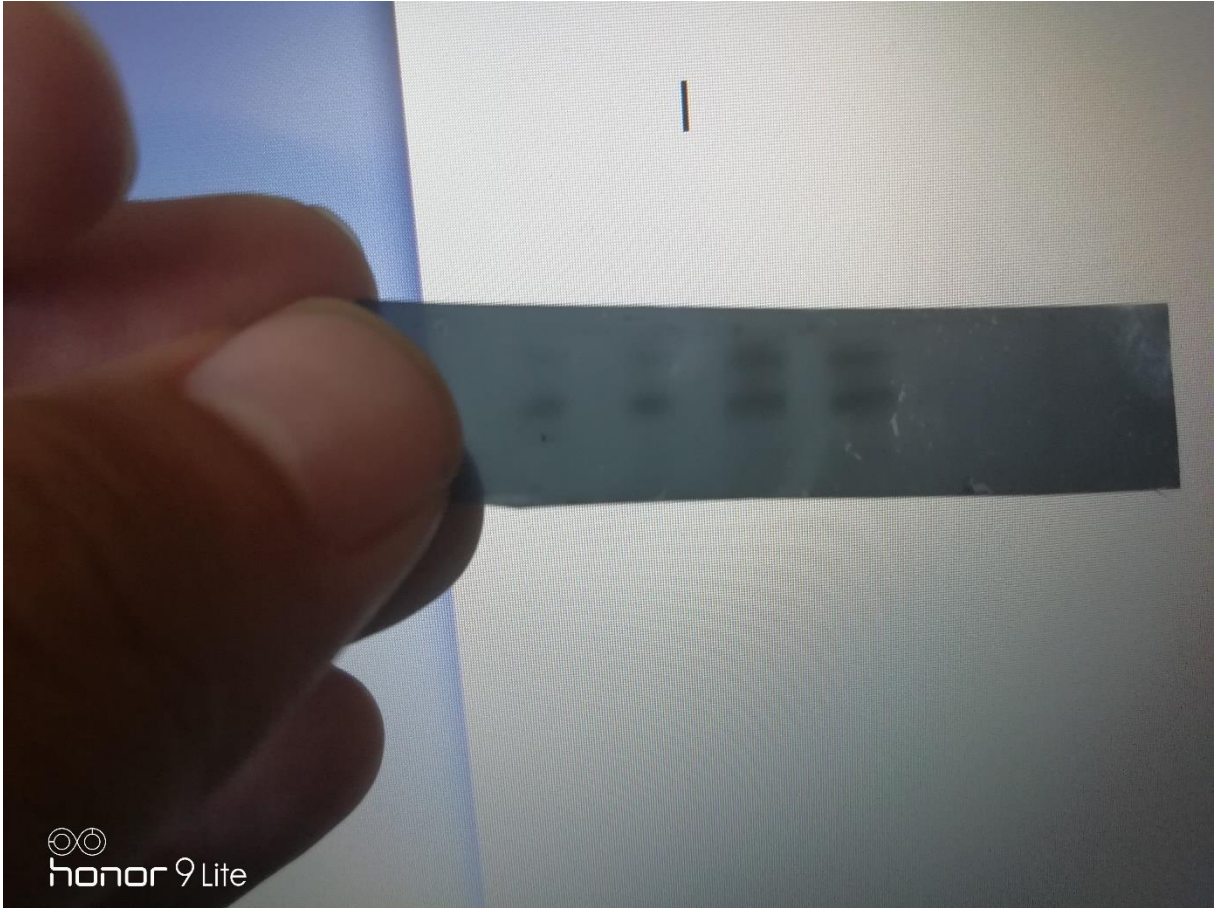
jcp30291-sup-0008-DSC_25966Edited



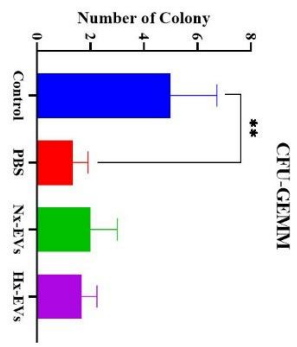
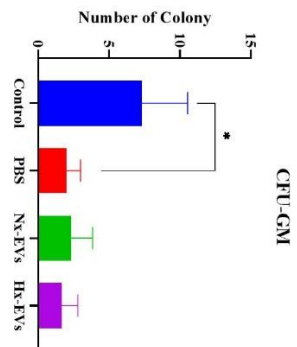
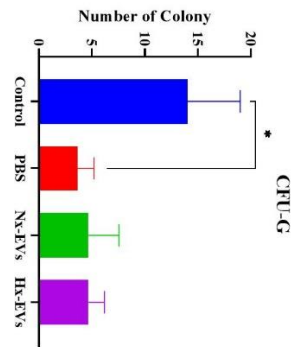
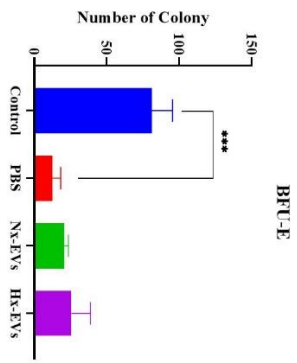
jcp30291-sup-0009-Image_35

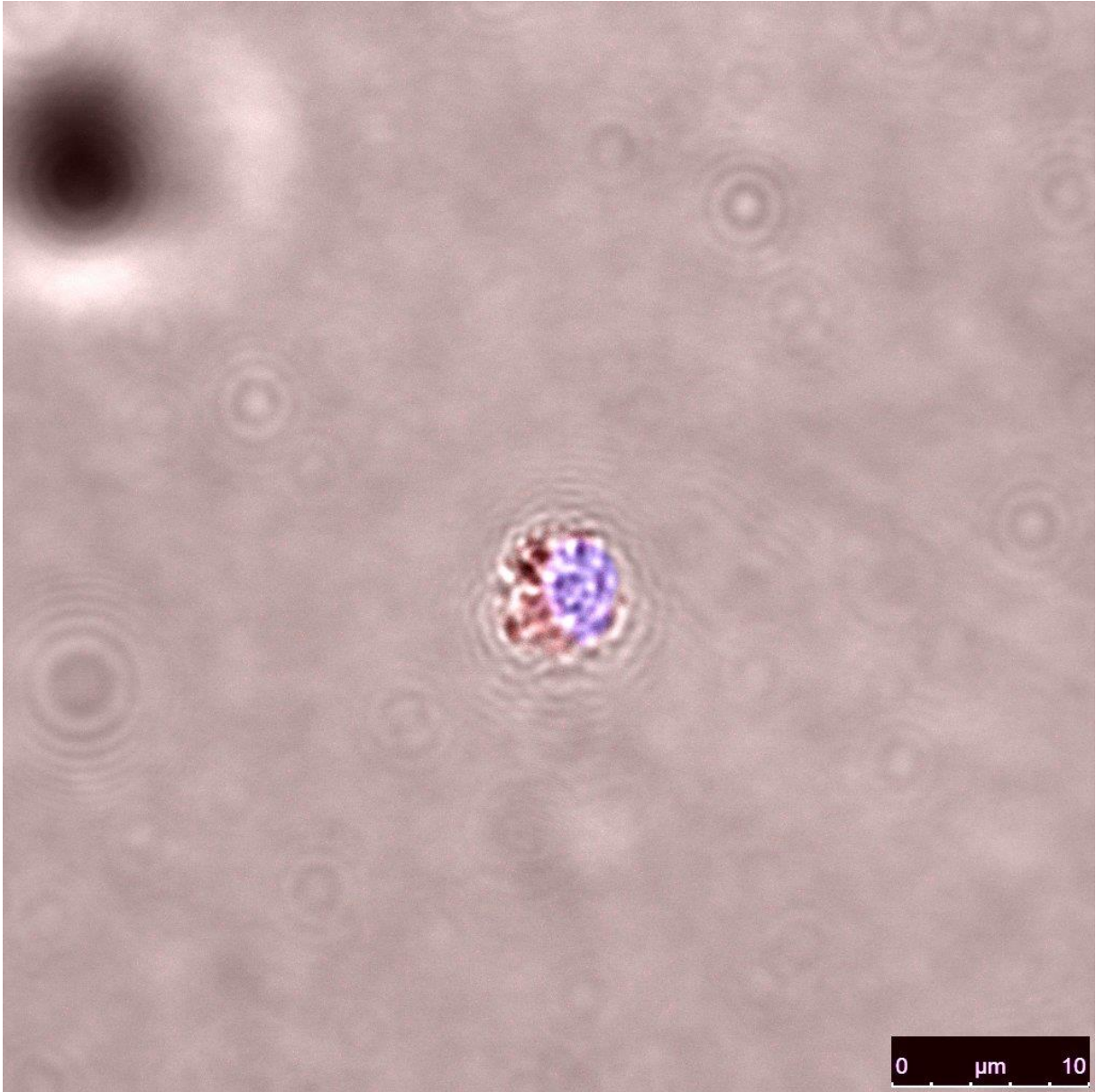


jcp30291-sup-0010-IMG_20200821_171542

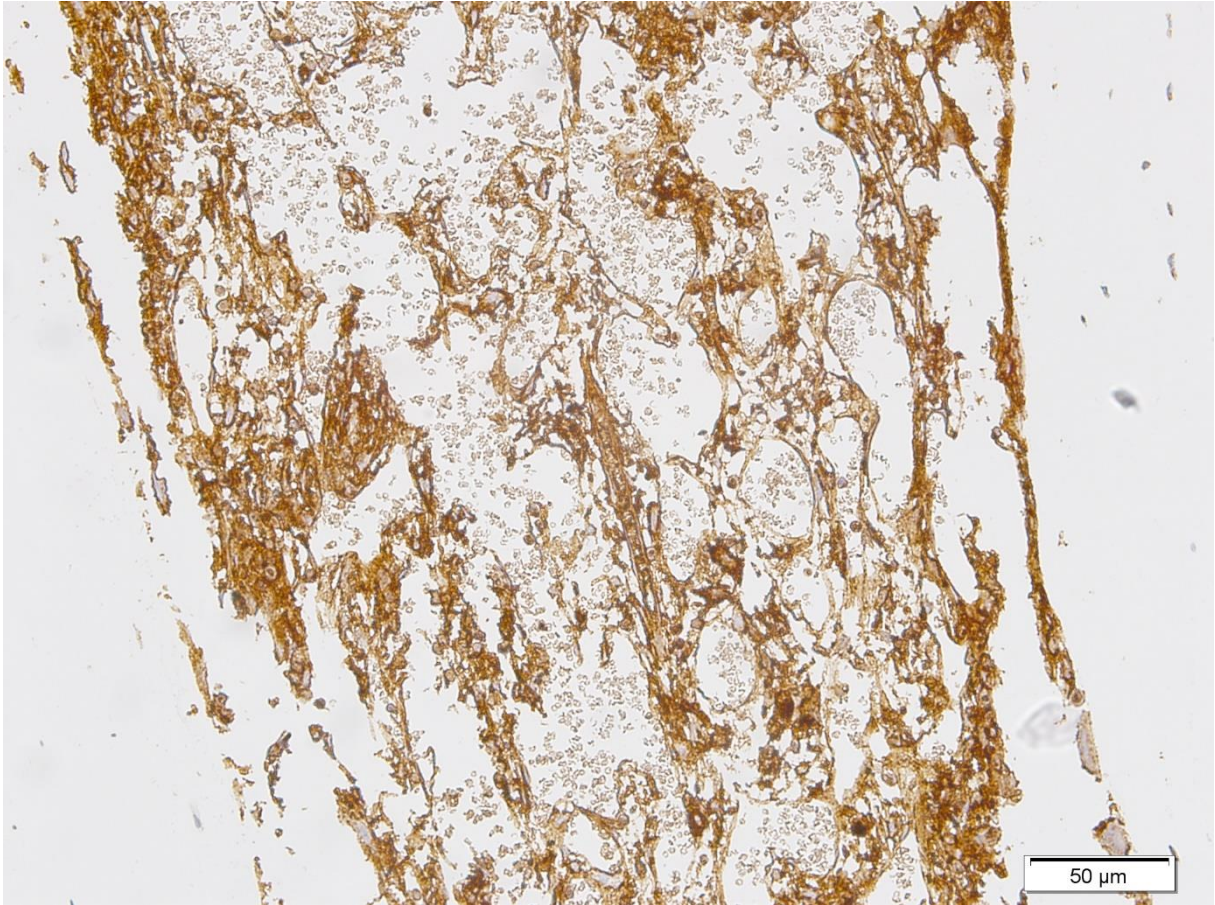


jcp30291-sup-0011-IMG_20200821_171927

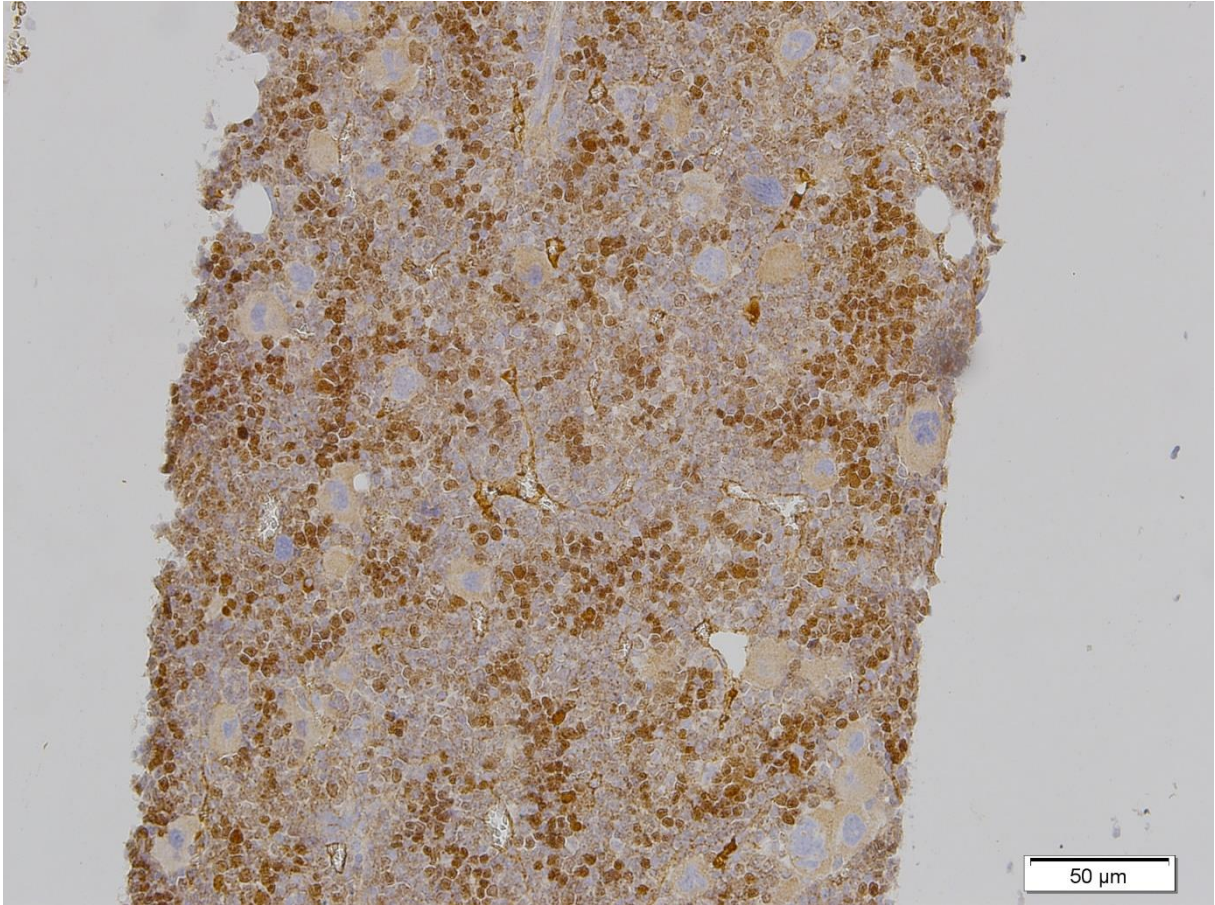




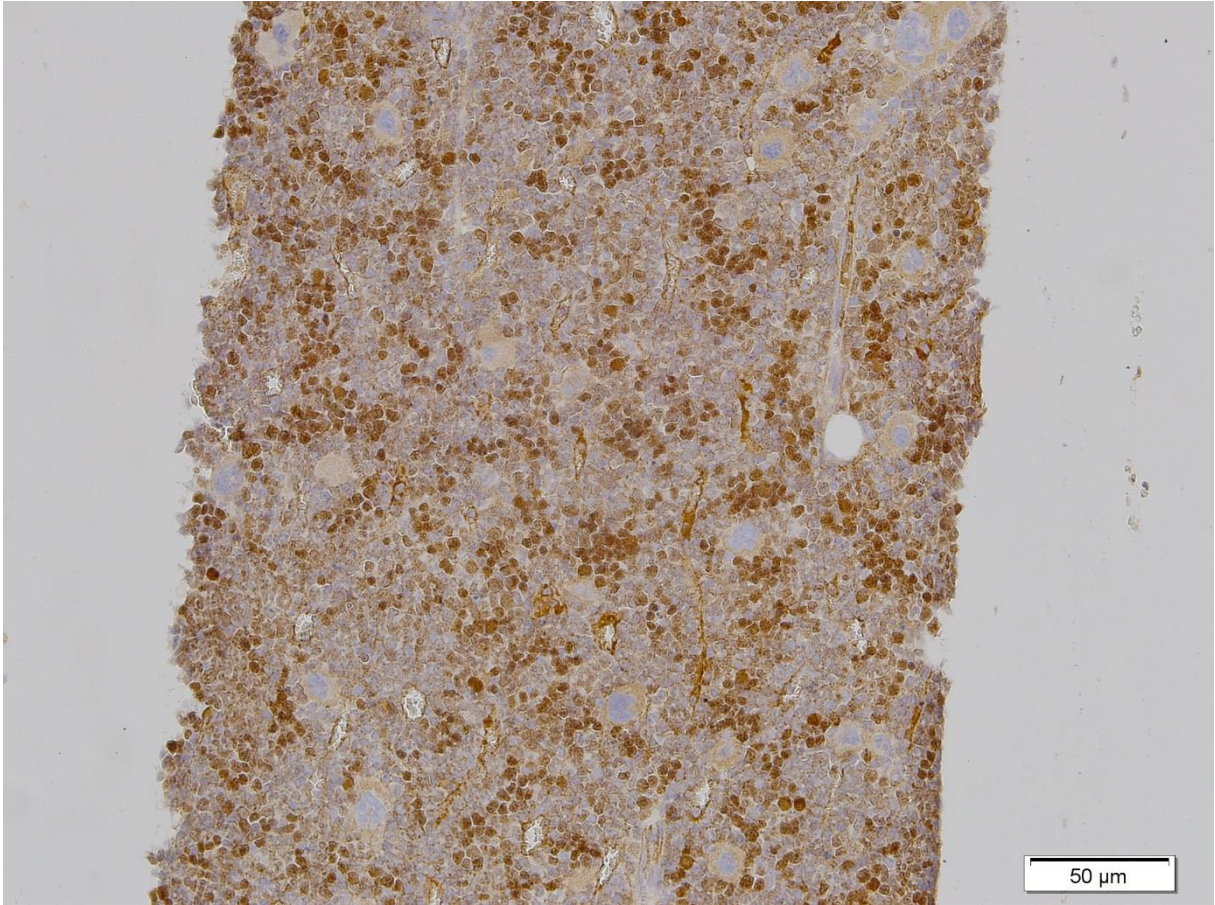
jcp30291-sup-0013-merge



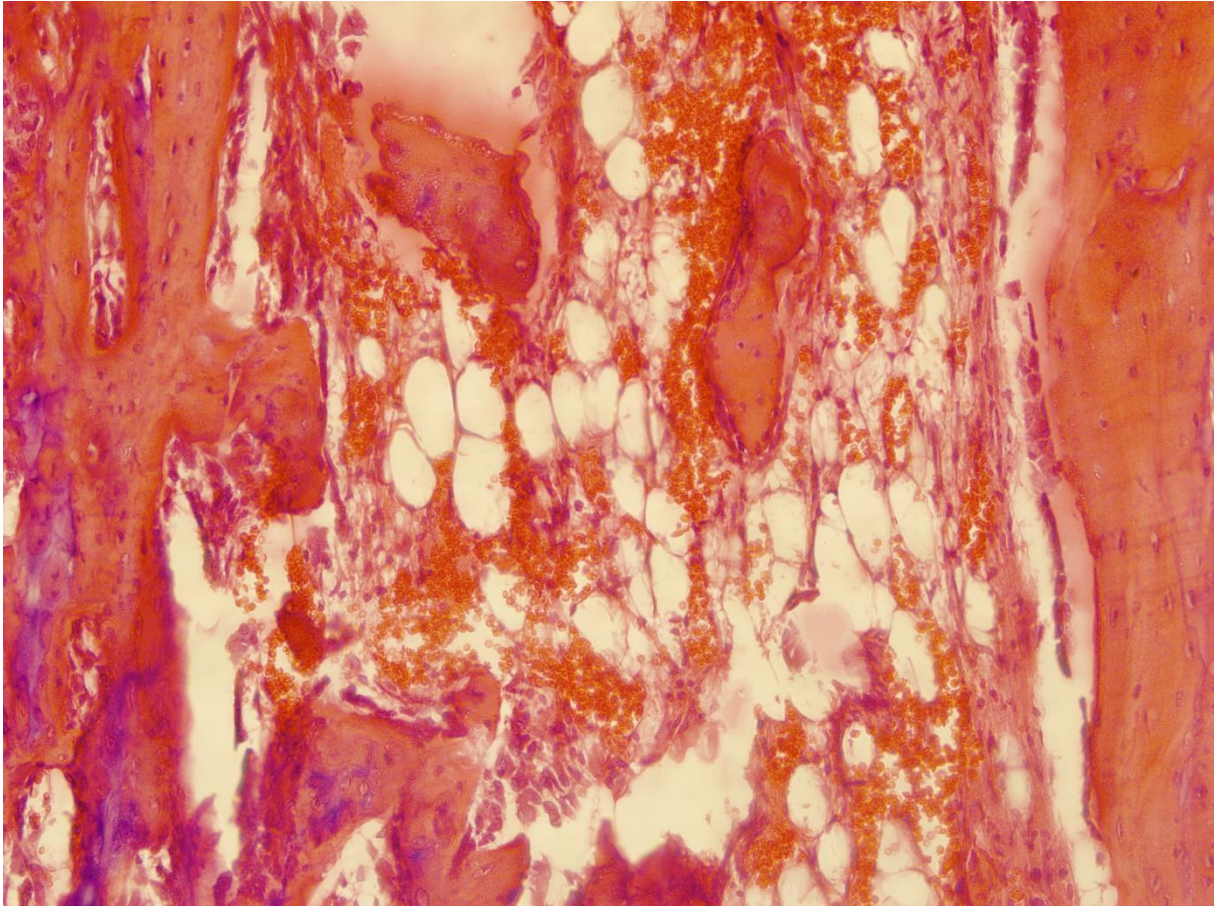
jcp30291-sup-0014-non_teated_and_aplastic2



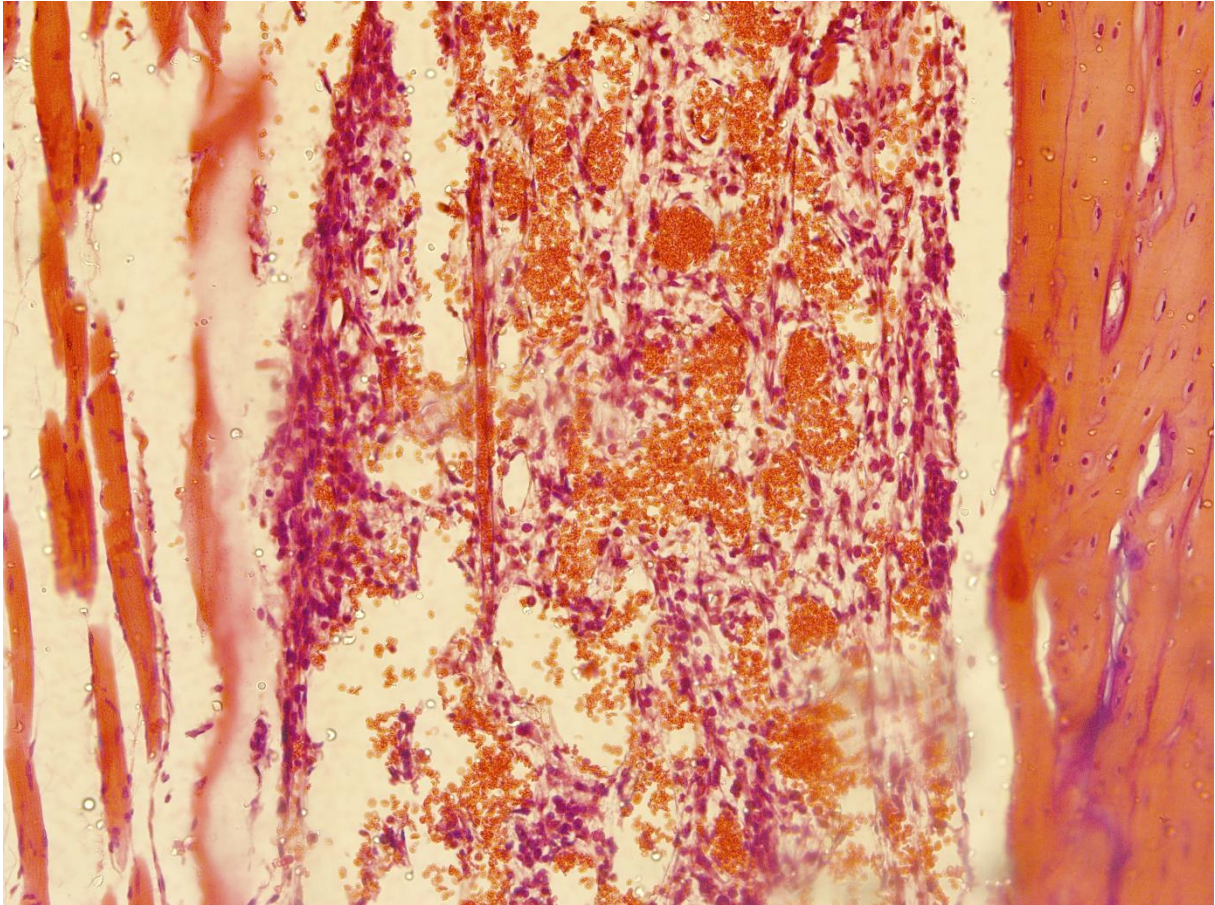
jcp30291-sup-0015-TREATED



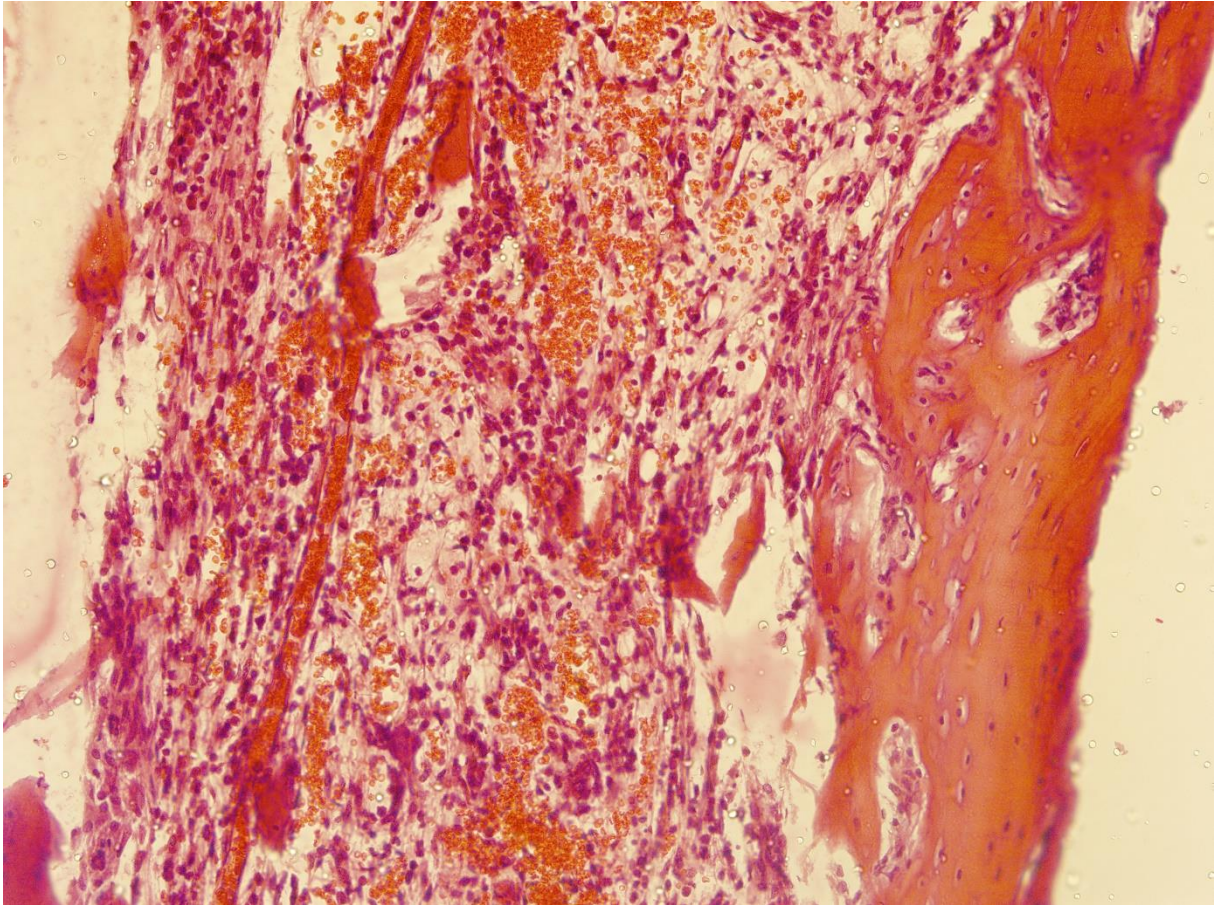
jcp30291-sup-0016-treated_NX_



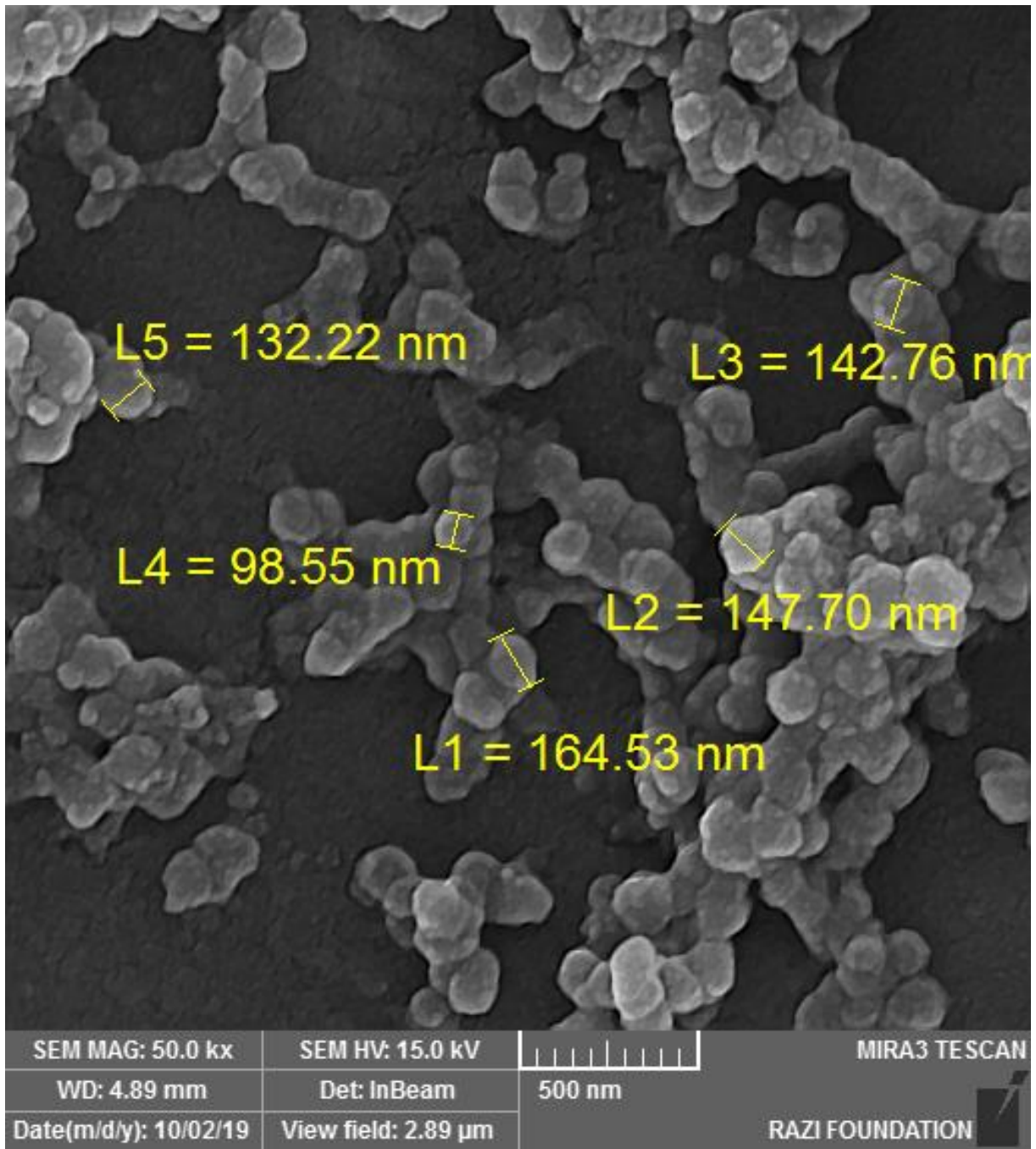
jcp30291-sup-0017-1ba2_1369



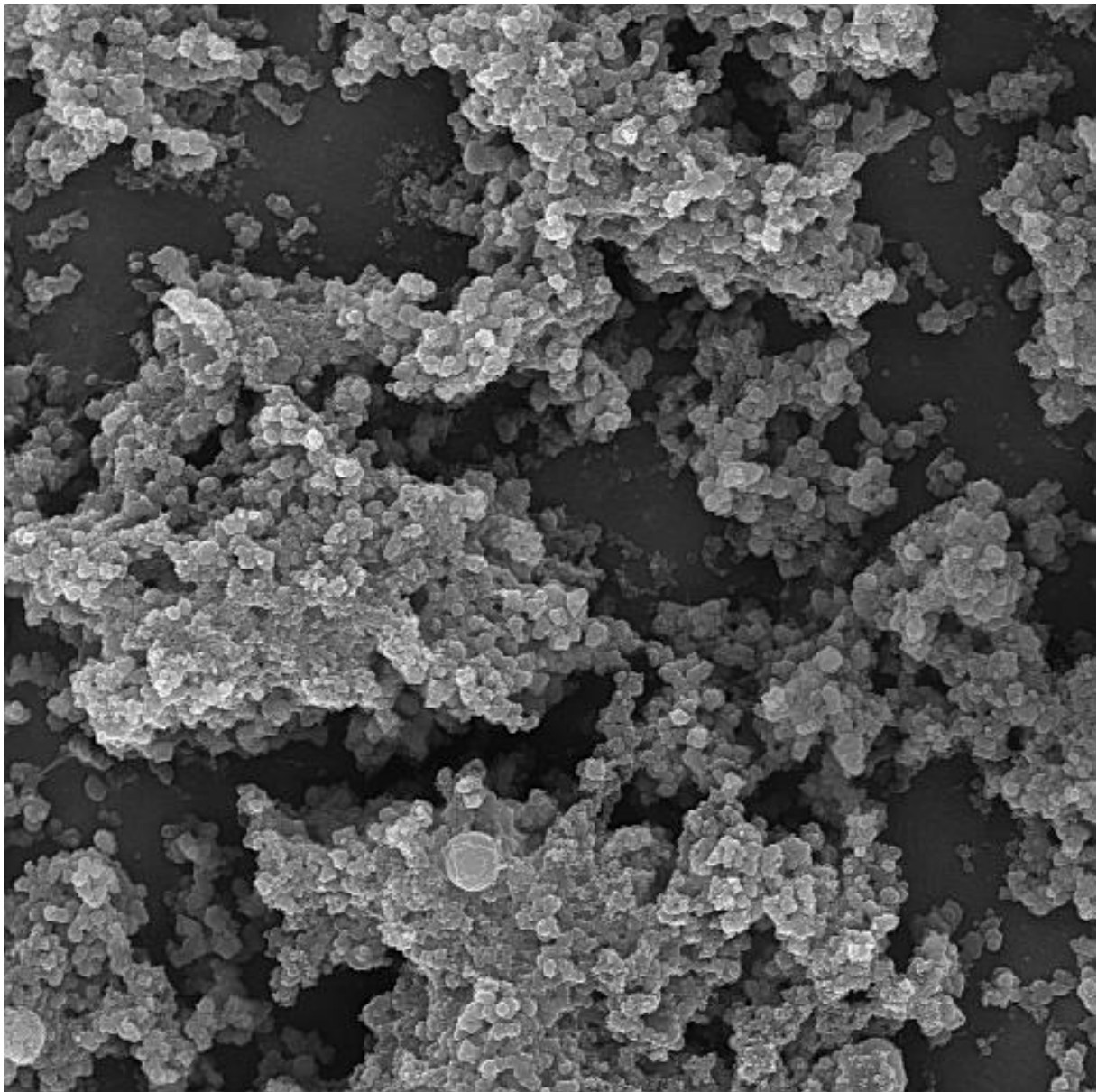
jcp30291-sup-0018-1ba2_1400



jcp30291-sup-0019-1ba2_1401

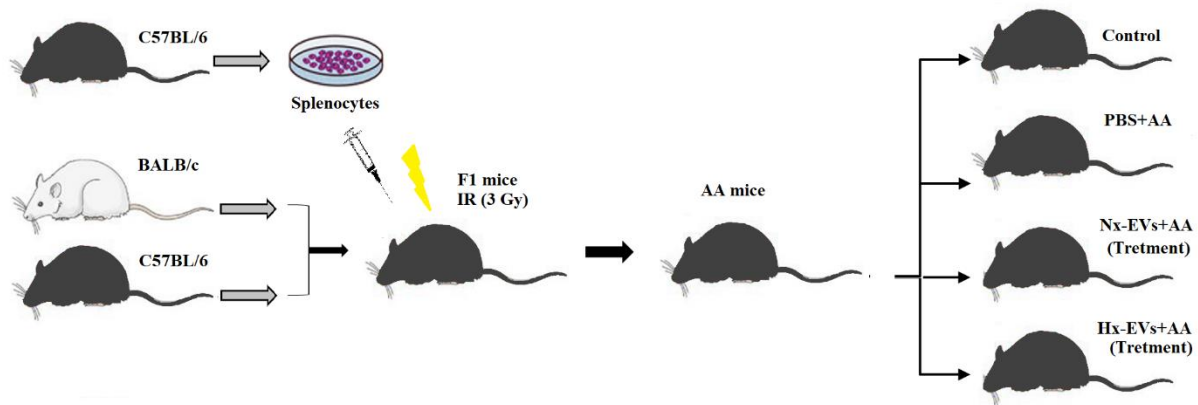


jcp30291-sup-0020-2_3

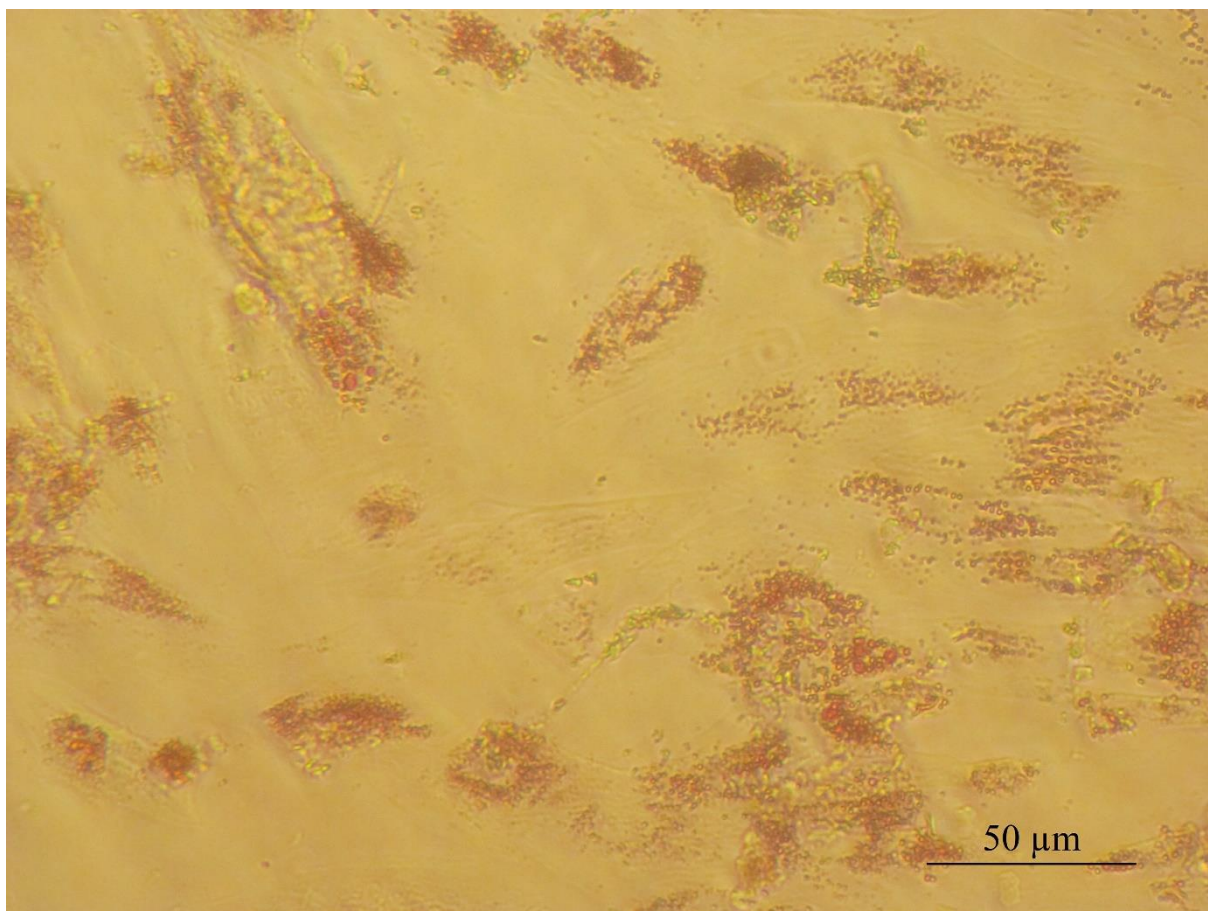


SEM MAG: 10.00 kx	SEM HV: 15.0 kV		MIRA3 TESCAN
WD: 4.88 mm	Det: InBeam		2 μ m
Date(m/d/y): 10/02/19	View field: 14.4 μ m		RAZI FOUNDATION 

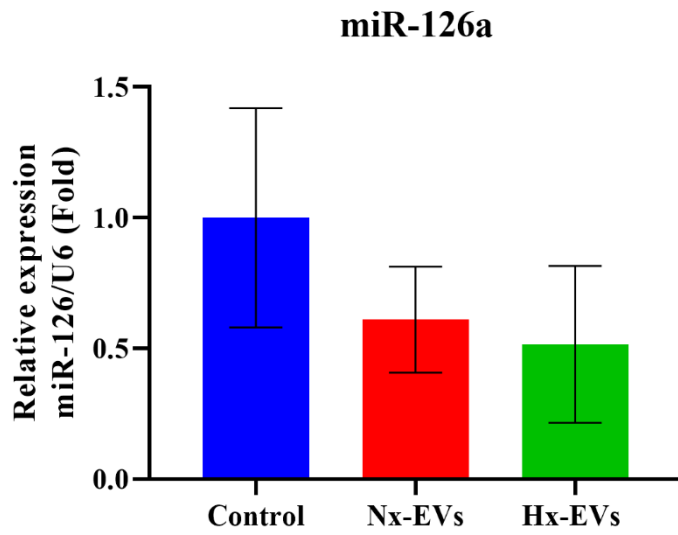
jcp30291-sup-0021-2_4



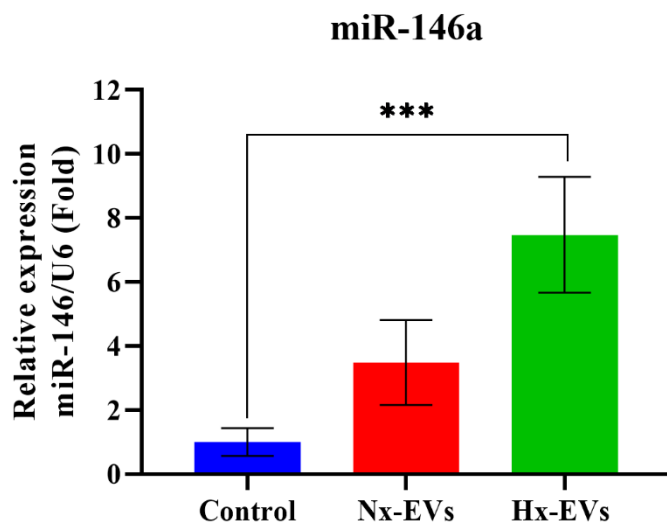
jcp30291-sup-0022-3



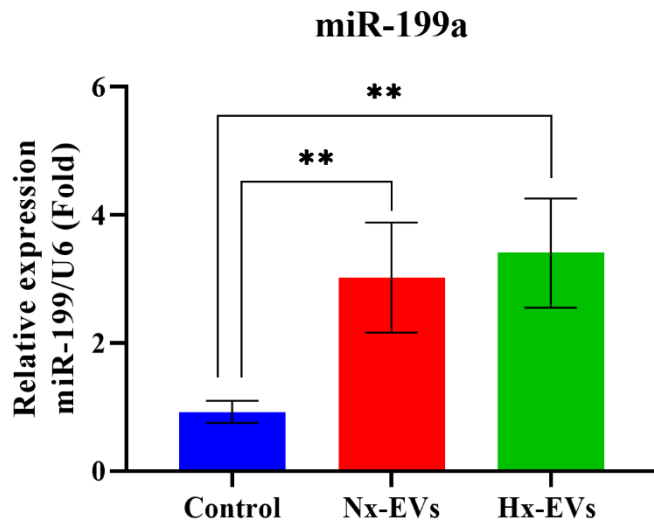
jcp30291-sup-0023-adipogenic_diffrentiation



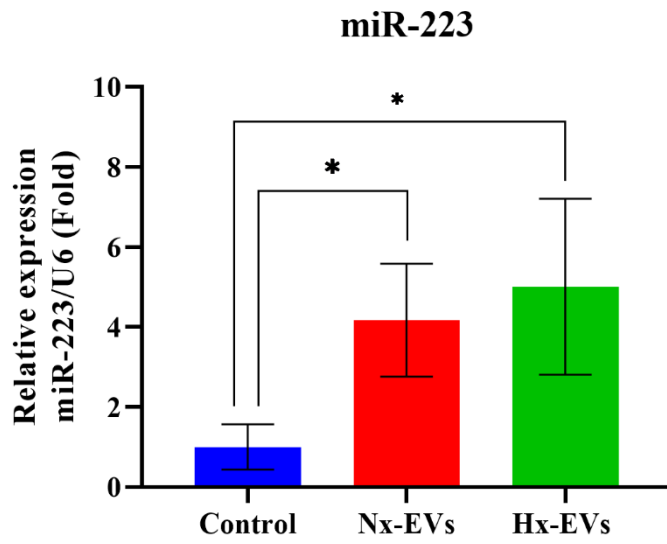
jcp30291-sup-0024-BM_miR_126



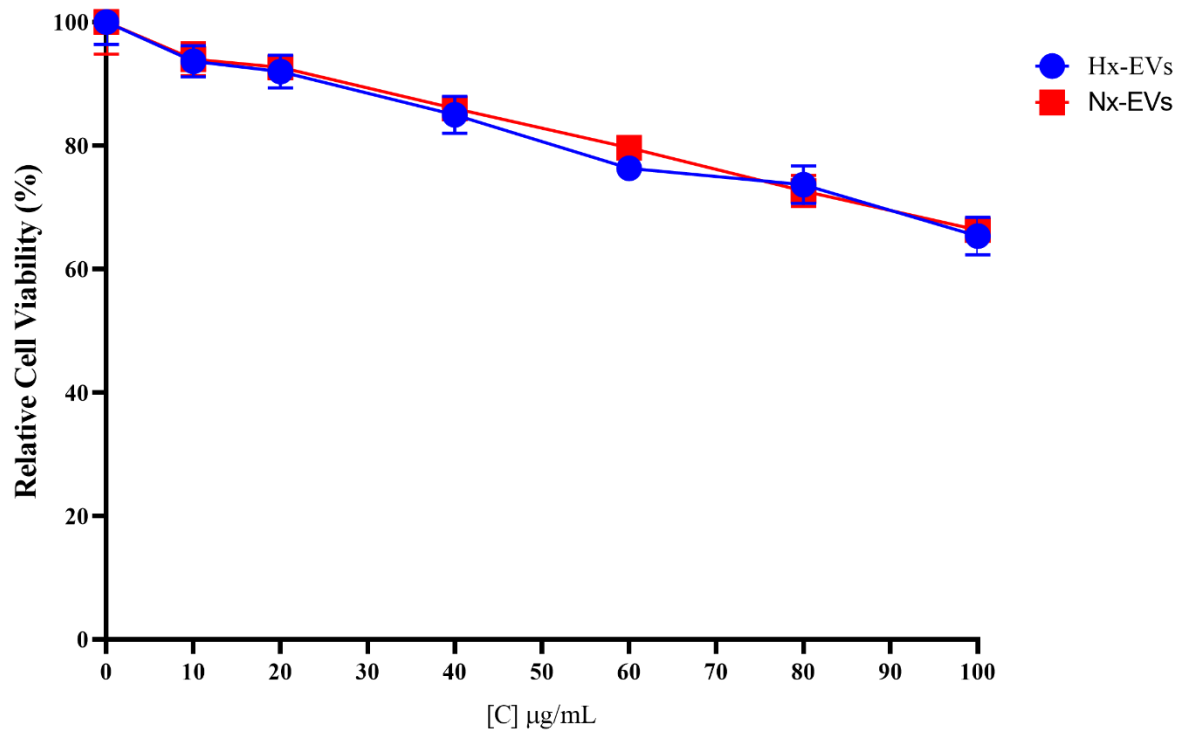
jcp30291-sup-0025-BM_miR_146



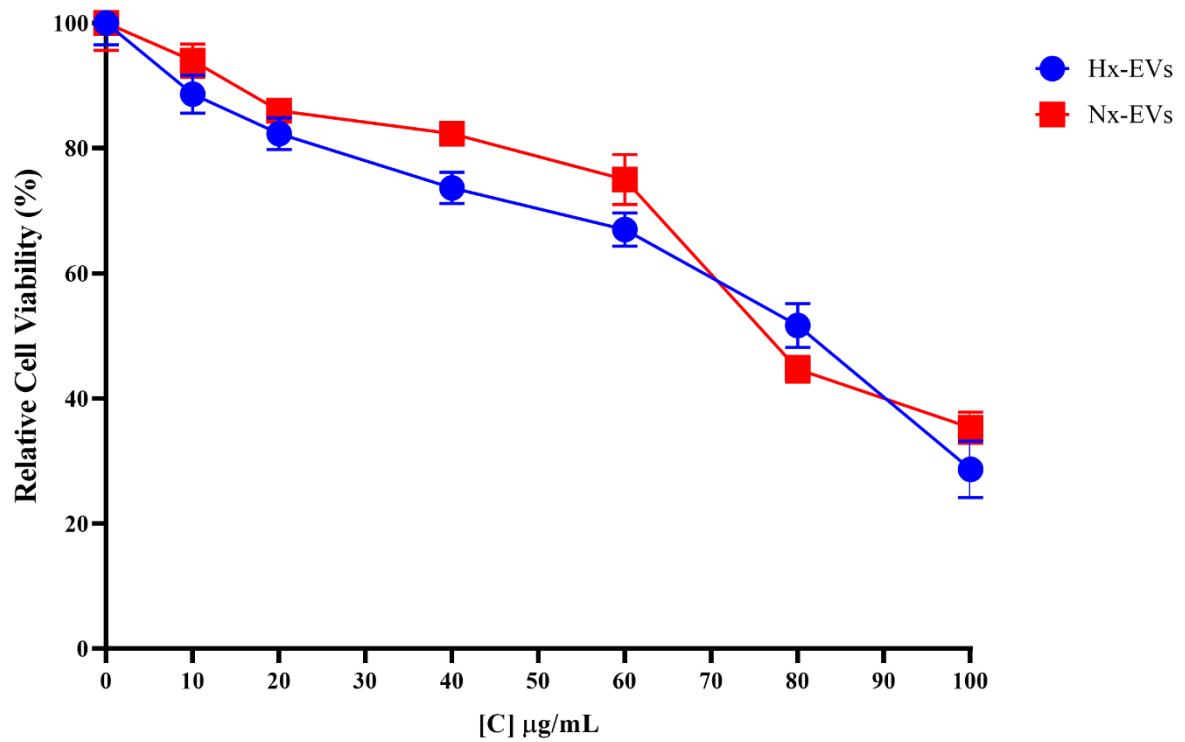
jcp30291-sup-0026-BM_miR_199a



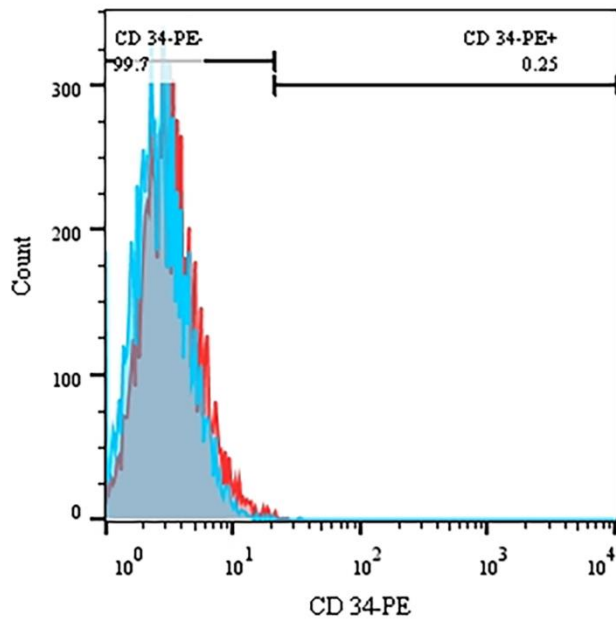
jcp30291-sup-0027-BM_miR_223



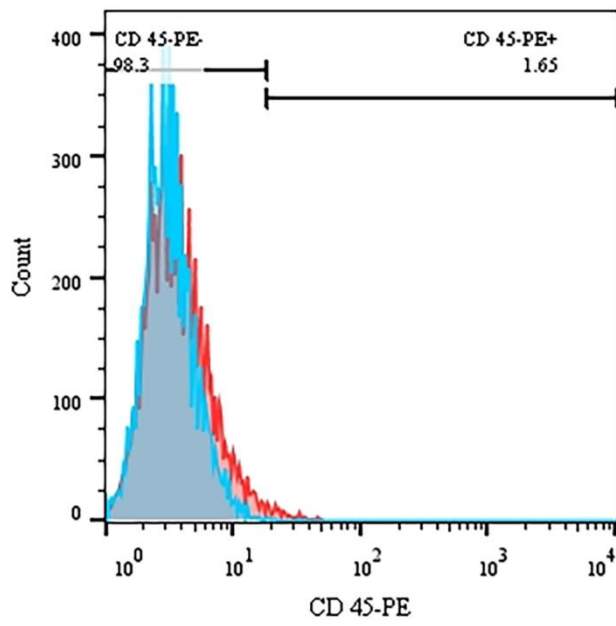
jcp30291-sup-0028-CCK8_24h



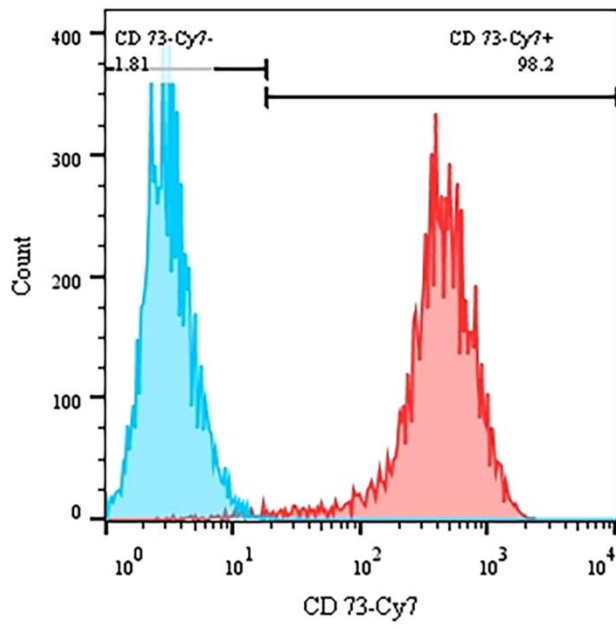
jcp30291-sup-0029-CCK8_48h



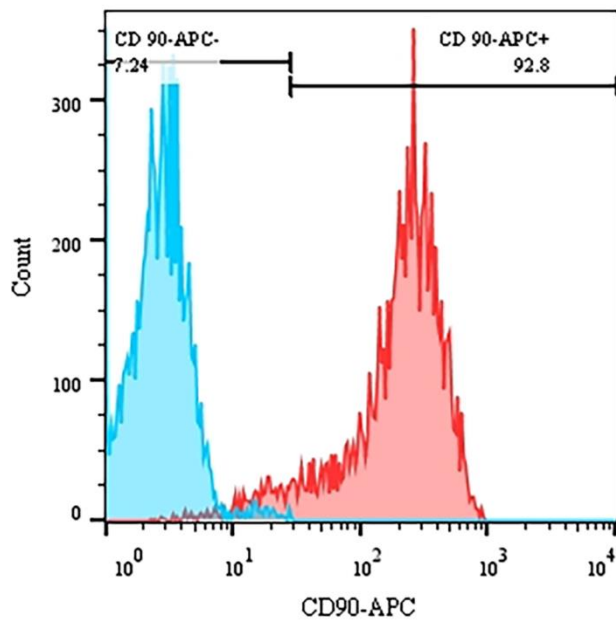
jcp30291-sup-0030-CD34



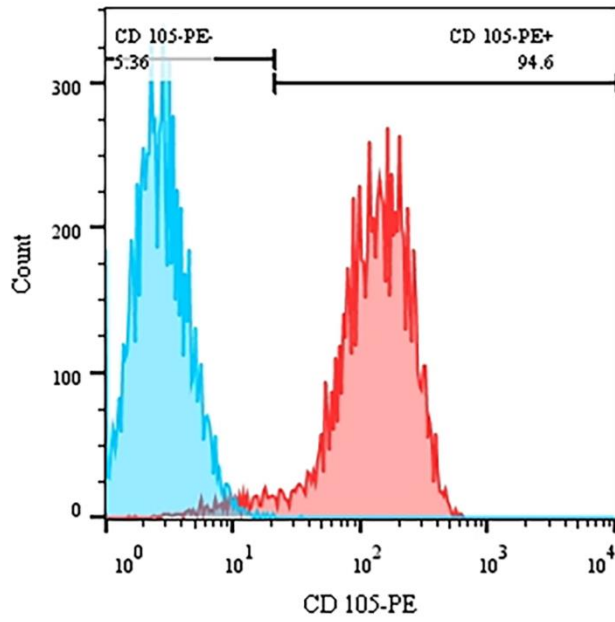
jcp30291-sup-0031-CD45



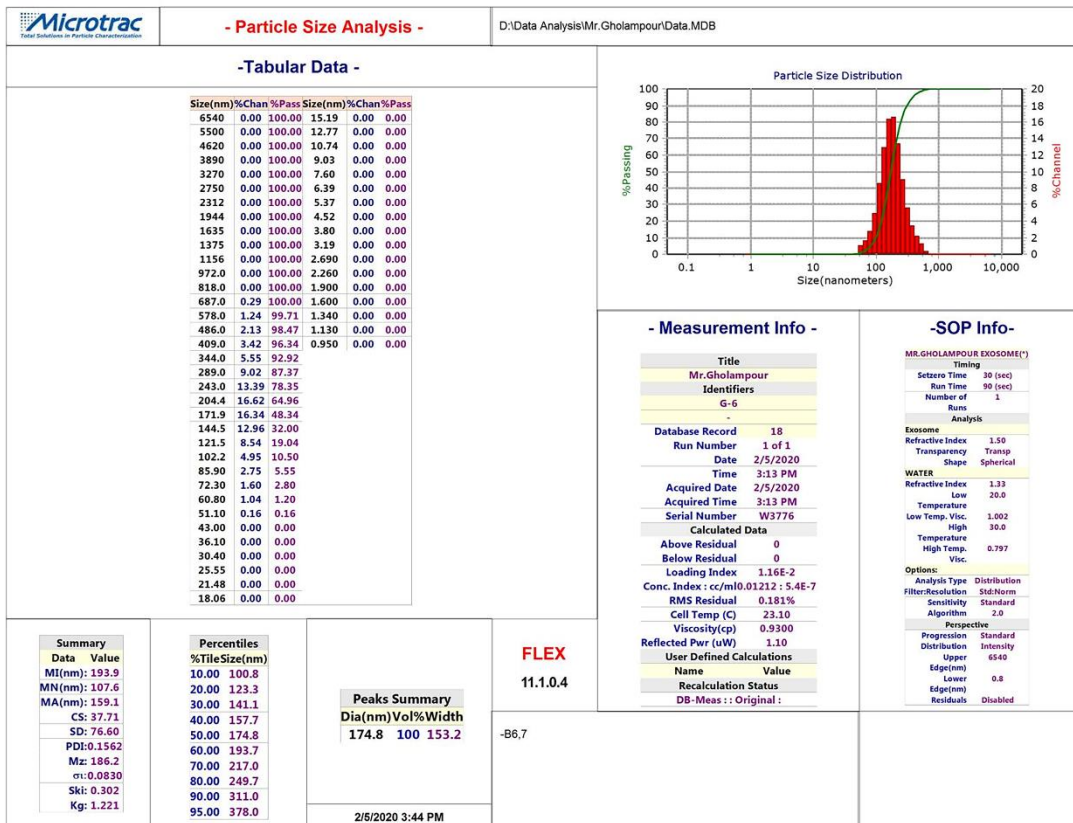
jcp30291-sup-0032-CD73



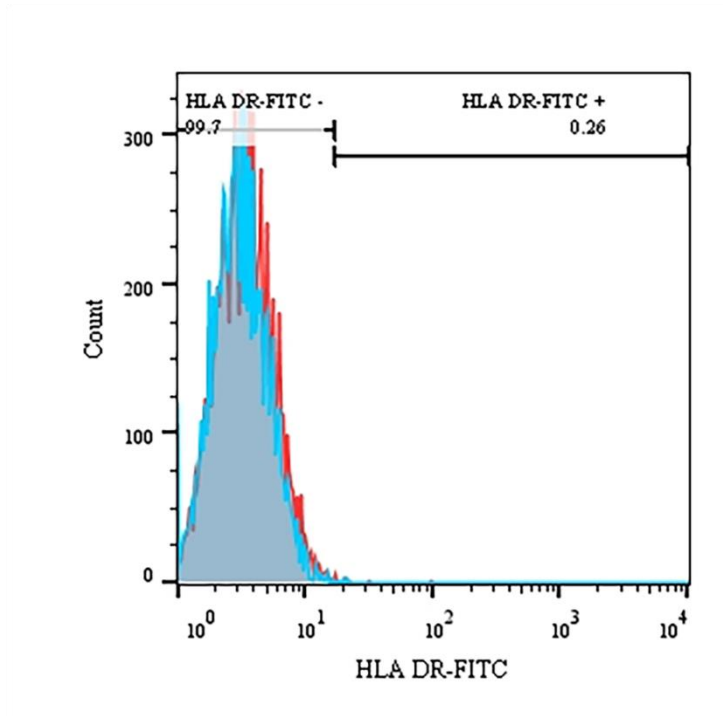
jcp30291-sup-0033-CD90



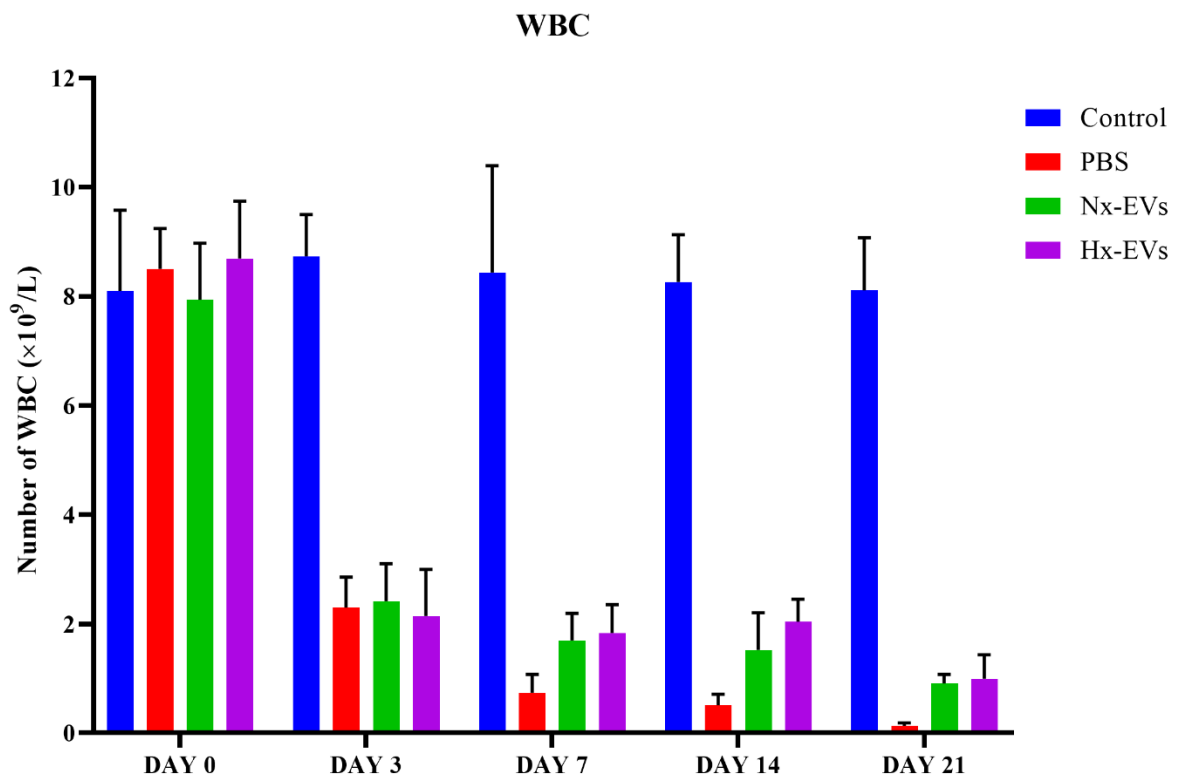
jcp30291-sup-0034-CD105



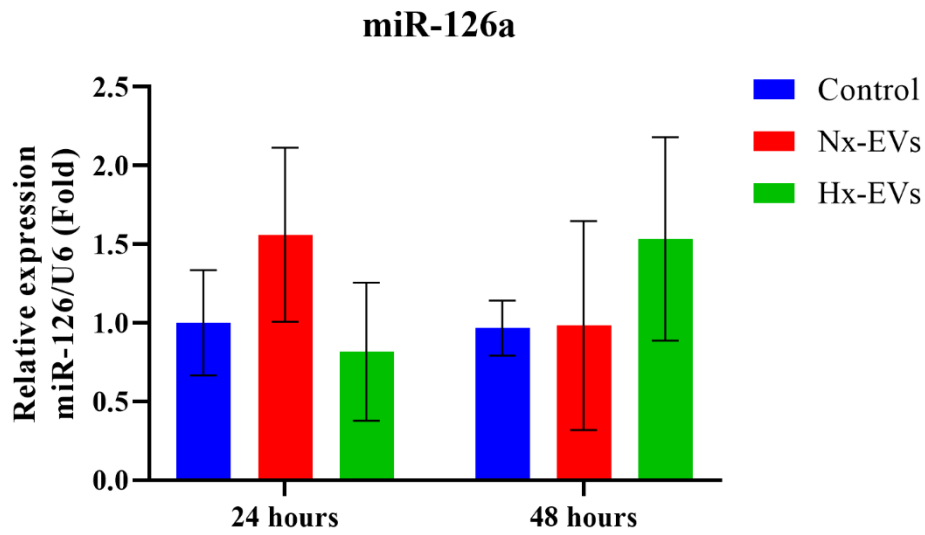
jcp30291-sup-0035-DLS



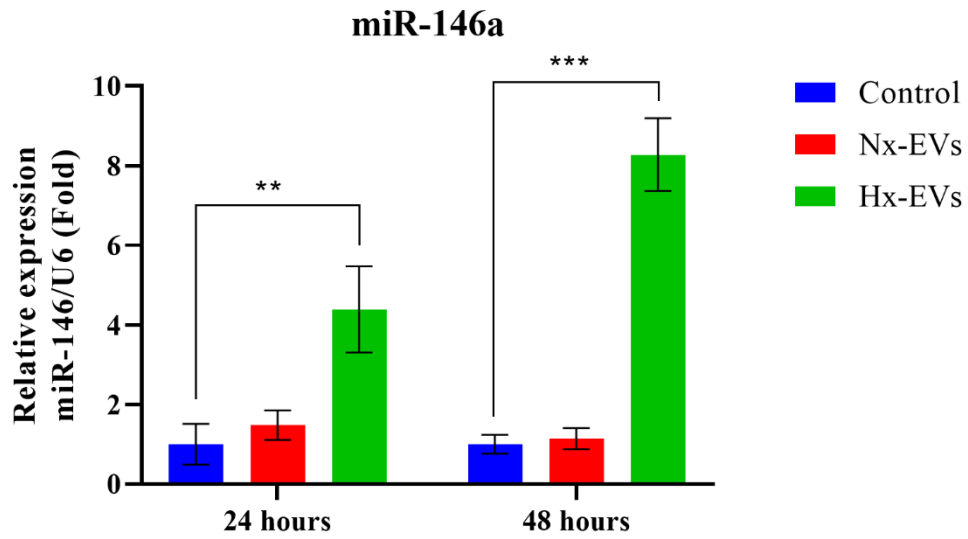
jcp30291-sup-0036-HLA_DR



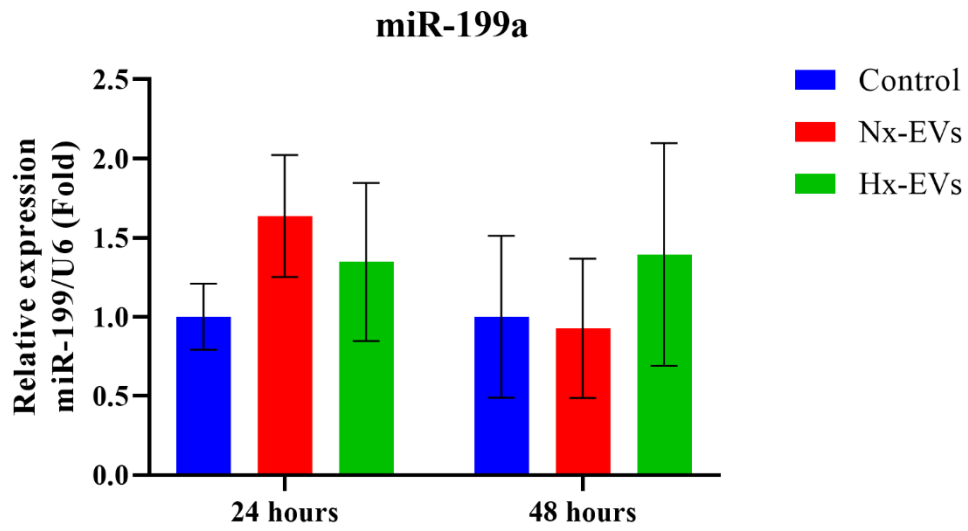
jcp30291-sup-0037-Inject_Mouse_WBC_1



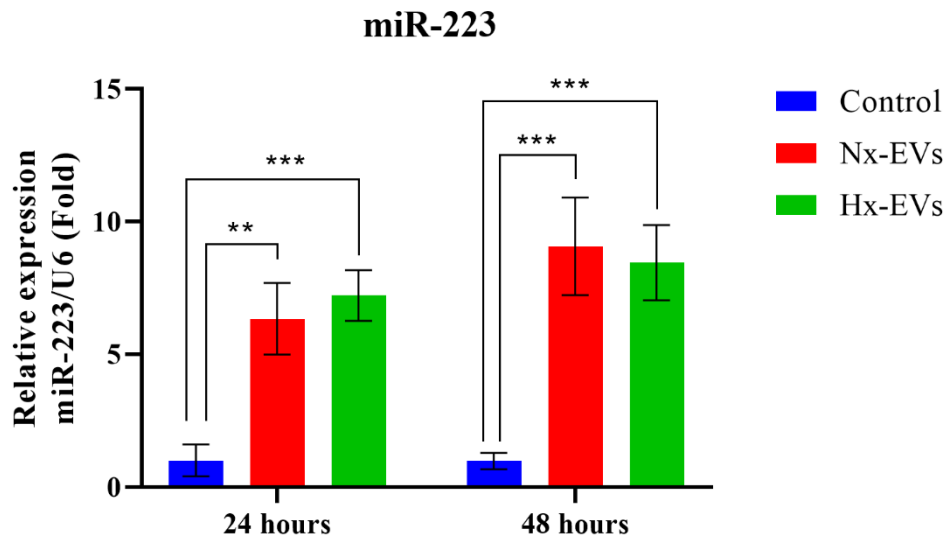
jcp30291-sup-0038-miR_126



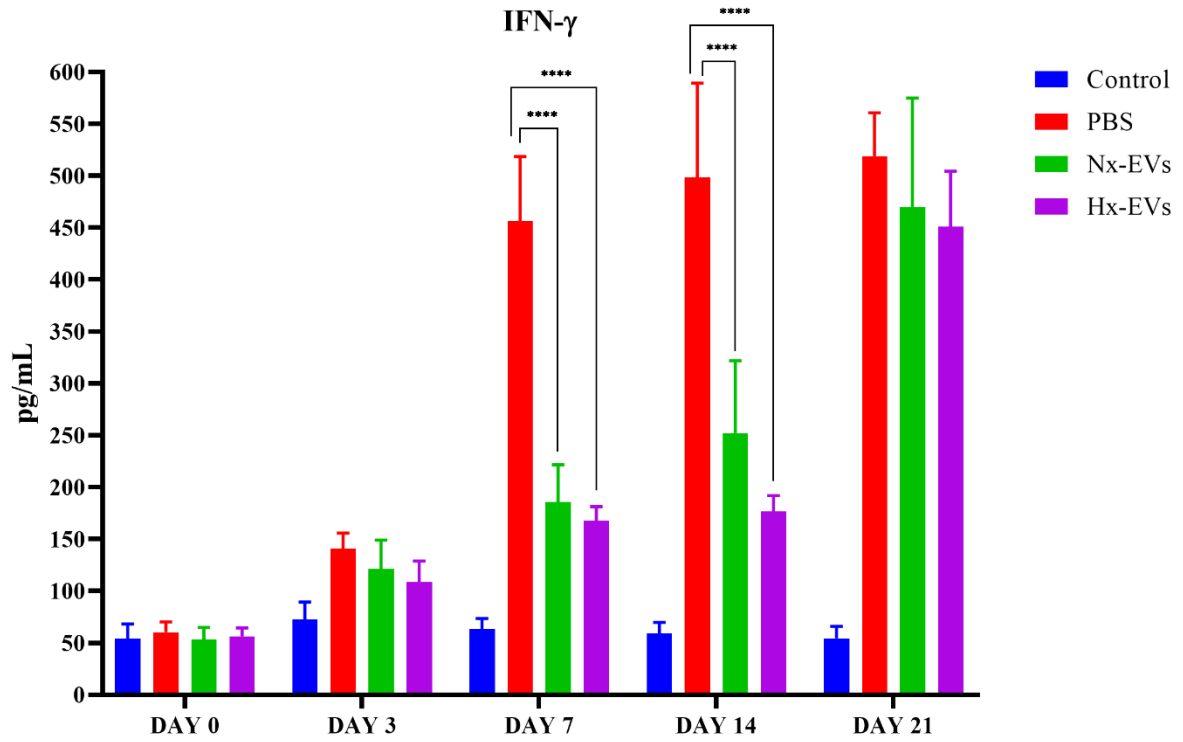
jcp30291-sup-0039-miR_146



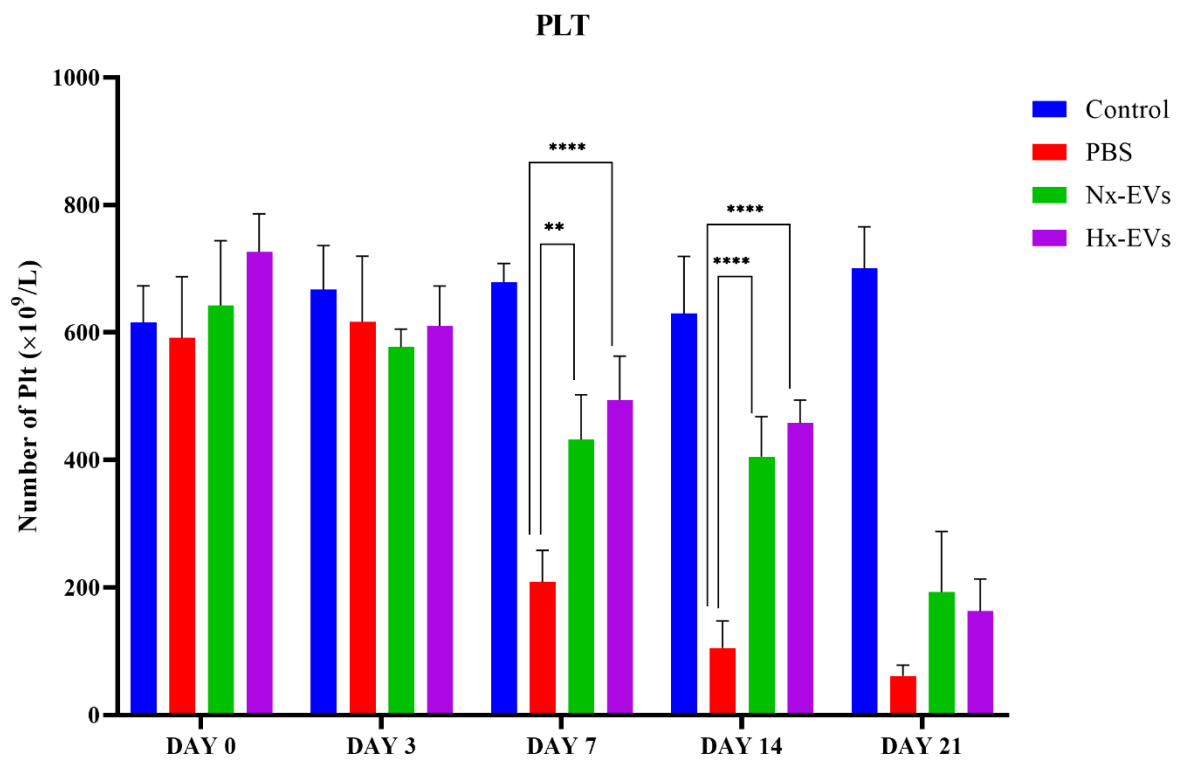
jcp30291-sup-0040-miR_199a



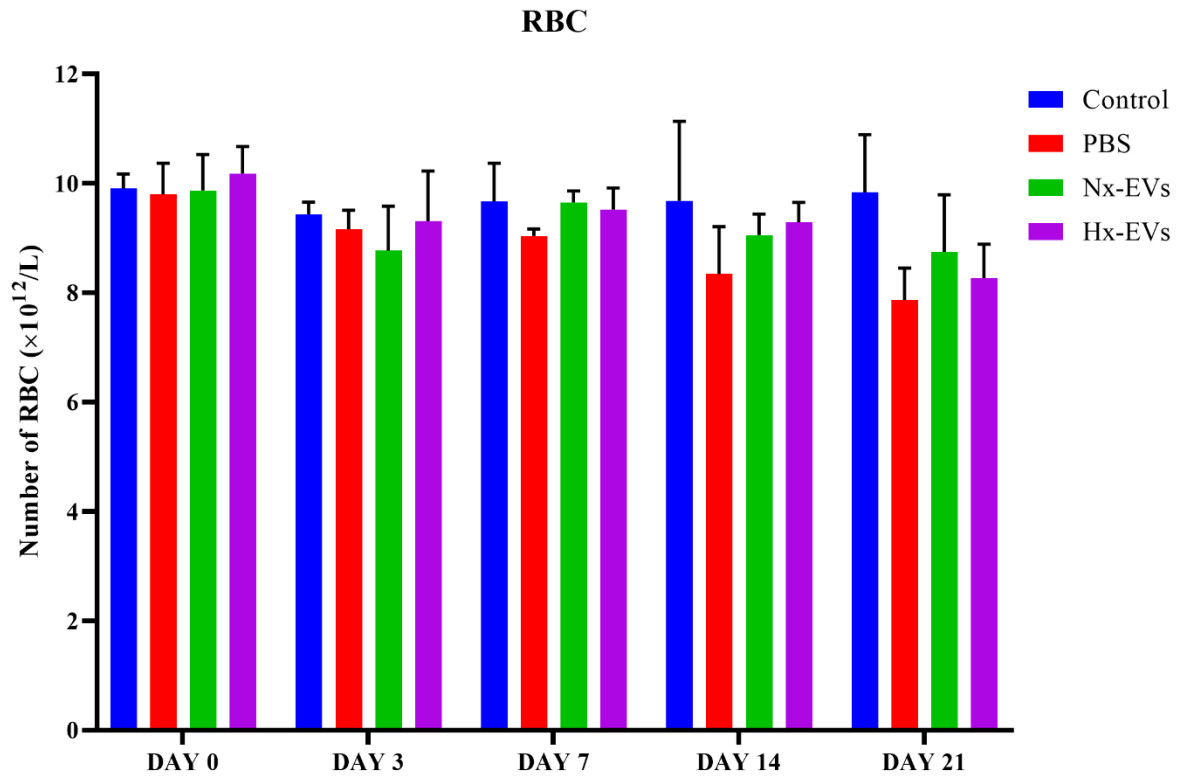
jcp30291-sup-0041-miR_223



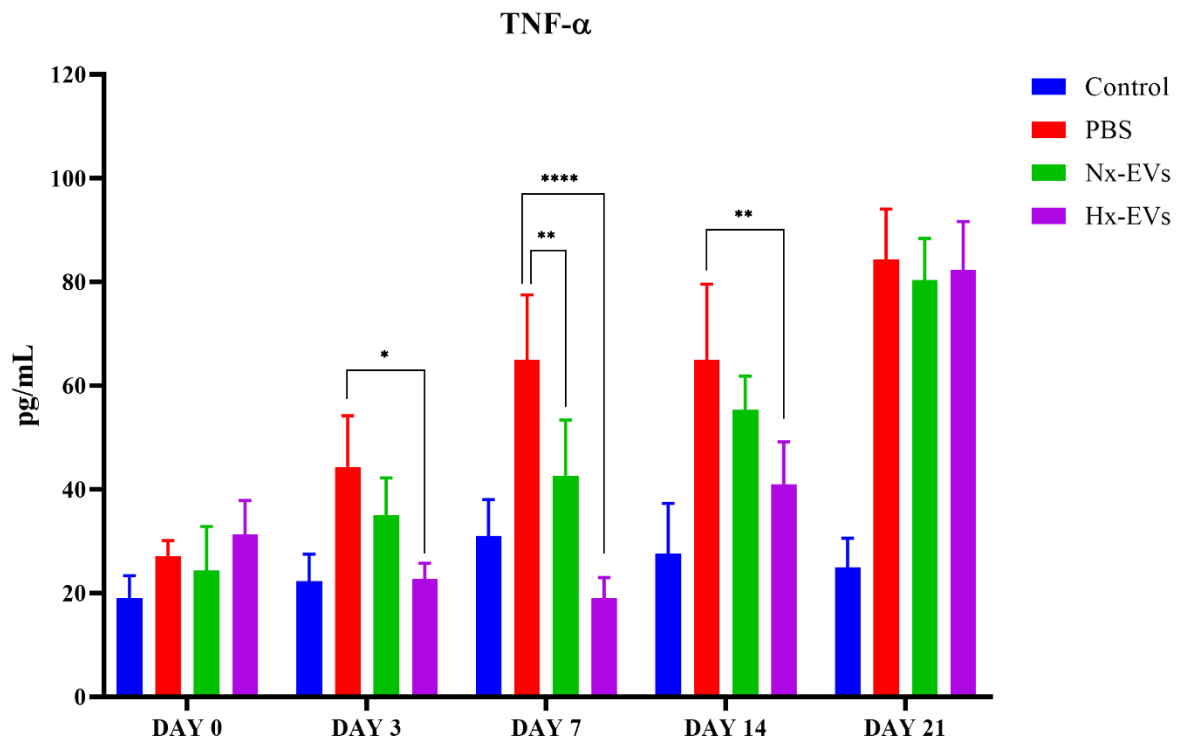
jcp30291-sup-0042-Mouse_IFN



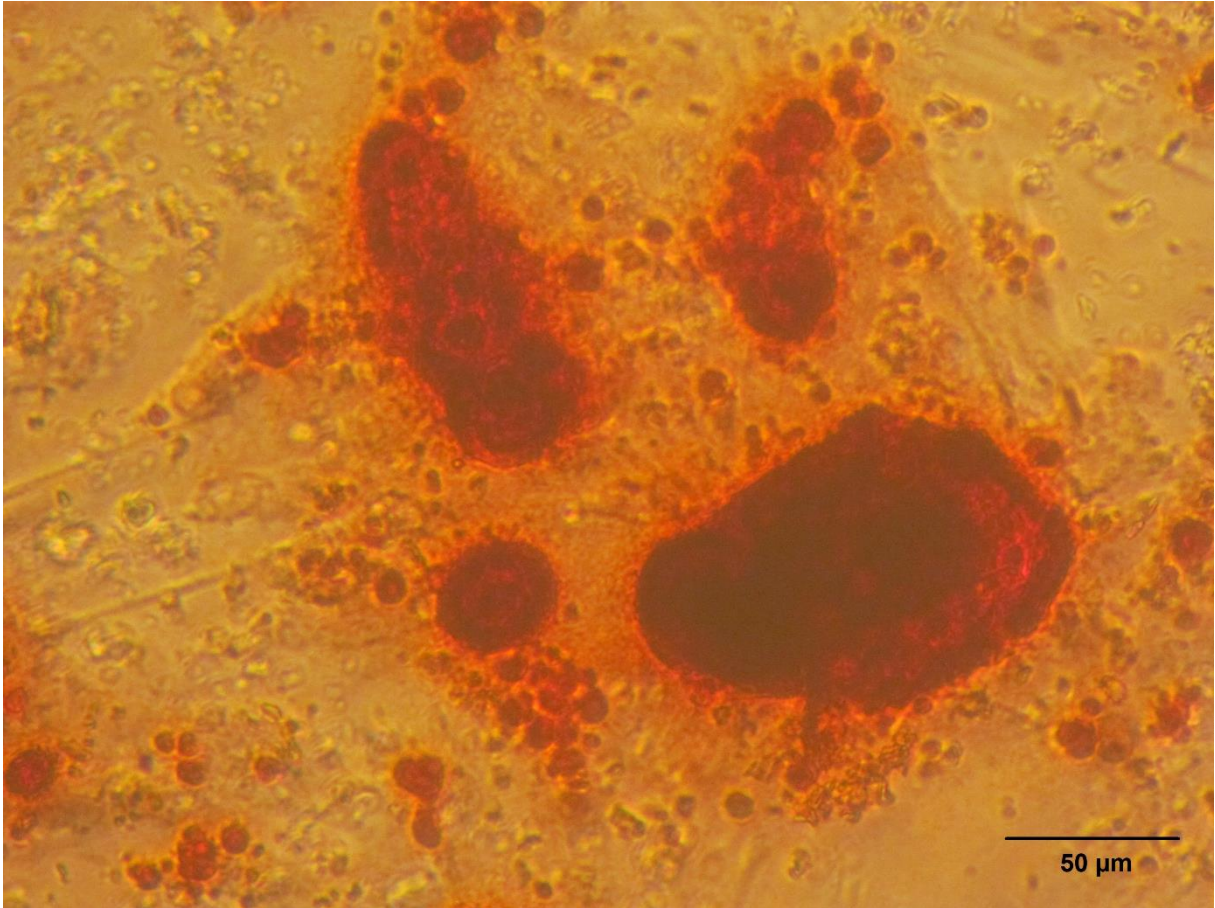
jcp30291-sup-0043-Mouse_Plt_1



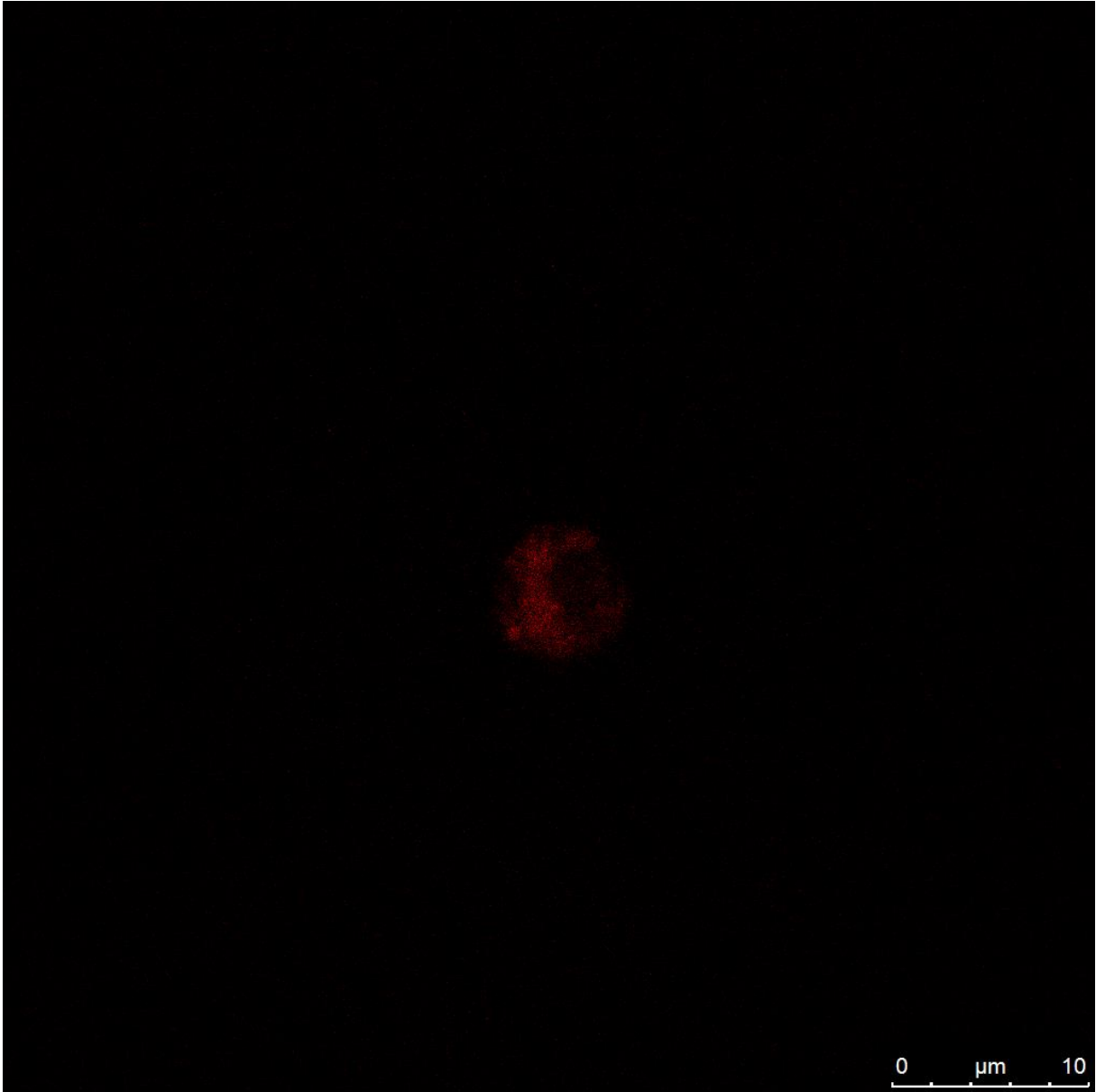
jcp30291-sup-0044-Mouse_RBC_1



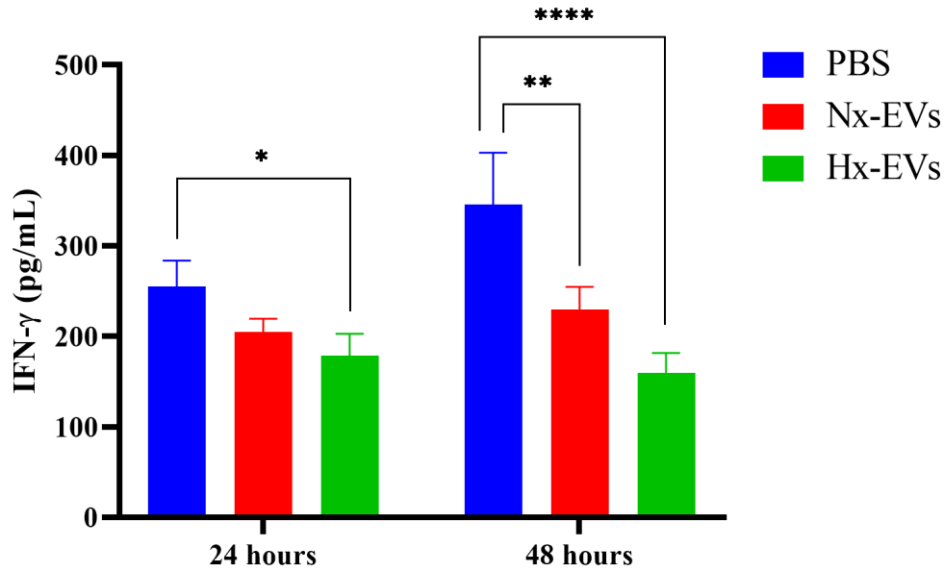
jcp30291-sup-0045-Mouse_TNF



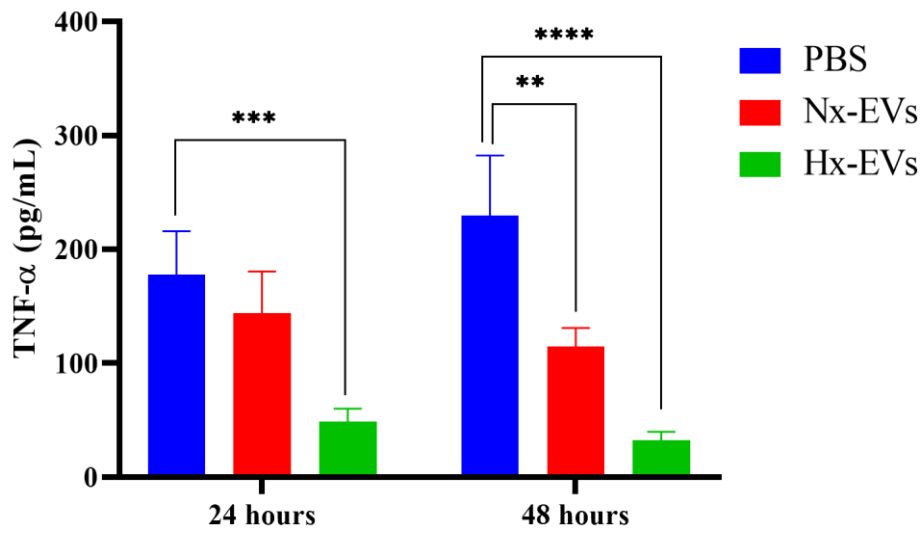
jcp30291-sup-0046-osteogenic



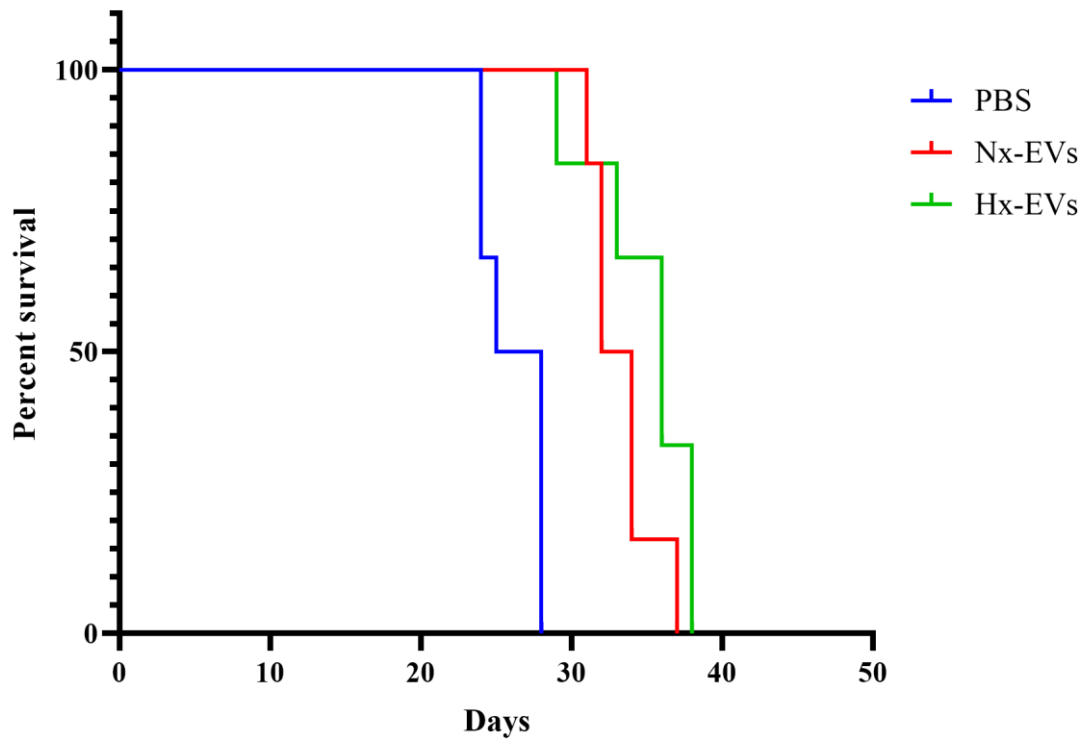
jcp30291-sup-0047-pkh



jcp30291-sup-0048-splenocyte_ifn_g



jcp30291-sup-0049-splenocyte_tnf_a



jcp30291-sup-0050-Survival_new